

Государственный комитет СССР по народному образованию

**СИЛОВОЙ РАСЧЕТ МЕХАНИЗМОВ**

Издательство МГТУ  
1991

Государственный комитет СССР по народному образованию

СИЛОВОЙ РАСЧЕТ МЕХАНИЗМОВ

Утверждено редсоветом МГТУ в качестве учебного пособия

Под редакцией К.В.Фролова

Издательство МГТУ  
1991

Рецензент Е.И.Воробьев

**С36 Силовой расчет механизмов: Учебное пособие / Д.М.Лукичев, І.А.Тимофеев, И.Н.Ермакова, А.В.Яминский; Под ред. Н. В.Фролова. - М.: Изд-во МГУ, 1991. - 73 с., ил.**

**ISBN 5-7038-0658-5**

В пособии приведены методики силового расчета различных механизмов граэоматических и аналитическими способами. Разобраны конкретные примеры определения реакций в кинематических парах двух шестизвенных и одного четырехзвенного механизма с использованием аналитического метода замкнутых векторных контуров, реализованные на СМ и ЕС ЭВМ. Изложены теоретические основы силового расчета рычажных механизмов с использованием обобщенного метода преобразования координат, а также силового расчета зубчатых, пневматических и кулачковых механизмов.

Предназначено для студентов дневной и сменочной формы обучения, а также для слушателей ФДКП при изучении дисциплины "Основы проектирования машин" и выполнении курсовых работ и проектов.

Табл. 6. Ил. 21. Библиогр. 4 назв.

## Редакция заключной литературы

Лютикий Михаилович Лукичев, Евгений Алексеевич Тимофеев, Ирина Николаевна Ермакова, Андрей Владимирович Яминский

## Силовой расчет механизмов

Заведующая редакцией Н.Г.Юсуповская  
Редактор О.И.Королева  
Корректор Л.И.Макютина

**К38Н 5-7038-0658-5**

(С)

МГУ им.Н.Э.Баумана, 1991.

Подписано в печать 17.04.91 Формат 60x84/16. Бумага тип. № 2.  
Печ. л. 5,0 Уч.-изд. л. 4,65 Уч.-изд. л. 4,57 Чирк 1000 экз.  
Изд. № 13. Заказ № 553 Цена 10 р.

Издательство МГУ, типография МГУ.  
107005, Москва, в-5, 2-я Бауманская, б.

## ВВЕДЕНИЕ

Силовой расчет механизмов включает в себя определение сил (реакций) в кинематических парах и нагрузки на отдельные звенья без учета или с учетом трения в кинематических парах. При этом на основе принципа Даламбера должно учитываться ускоренное движение масс путем введения в расчет главных векторов и главных моментов сил инерции звеньев и сведения задачи динамики к задаче статики, если рассматривается система сил, находящихся в равновесии. Это особенно важно для быстроходных машин с весьма массивными звеньями, когда силы инерции могут быть значительные.

Силовой расчет механизмов при их проектировании необходим: для последующих расчетов деталей и валов машин на прочность, жесткость, виbroстойкость; для расчета сжимаемого износа элементов кинематических пар при работе материалов и с целью определения ресурса работы машины; для выбора смазочного материала, определения давления в смазочном слое и места подвода смазки в подшипниках. В зубчатых и кулачковых механизмах знание сил в кинематических парах позволяет выполнить расчет на прочность валов и осей, определить контактные напряжения, обеспечить расчет замыкающей пружины при условии отсутствия отрыва толкателя от кулачка и т.д.

В большинстве случаев силовой расчет механизмов вначале выполняют без учета трения в кинематических парах, что упрощает задачу, а затем при необходимости по найденным силам в кинематических парах определяют моменты сил трения в шарнирах и силы трения в поступательных и вращающих парах и вводят их в расчет как дополнительные силовые факторы; это позволяет приблизенно оценить влияние трения на силовое нагружение звеньев и потери на трение при определении КПД механизма.

При установленемся режиме работы машины силовой расчет за цикл движения можно приблизенно выполнять без учета неравномерности вращения входного вала рабочей машины, поскольку, как показывают расчеты, погрешность при этом в большинстве случаев будет невелика.

Силовой расчет механизмов может быть выполнен графическим способом или одним из аналитических способов с применением ЭВМ, что обеспечивает высокую производительность и необходимую точность расчета.

## МЕТОДИКА МЛЮВОГО РАСЧЕТА РЫЧАМНЫХ МЕХАНИЗМОВ

нек известно, большинство плоских рычажных механизмов с одной степенью свободы представляют собой совокупность простейшего первичного механизма (одно подвижное звено и отсюда) и присоединенных статически определимых кинематических цепей в виде двухпроводовых групп Ассура различных модификаций. Силовой расчет таких механизмов начинают с той двухпроводовой группы, для которой известна внешняя нагрузка; при этом применяют уравнения статики, выражающие условия равновесия системы сил. Перед силовым расчетом находят линейные ускорения центров масс и угловые ускорения подвижных звеньев либо графическим способом путем построения планов скоростей и ускорений, либо одним из аналитических способов. Ускорения нужны для определения главных векторов сил инерции и главных моментов сил инерции звеньев (кратко: сил и моментов сил инерции). Сила инерции  $i$ -го звена  $\bar{F}_i = -m_i \ddot{\alpha}_{xi}$ , где  $m_i$  — масса,  $\ddot{\alpha}_{xi}$  — ускорение центра массы, или же в виде составляющих по осиам координат  $\bar{F}_{ix} = -m_i a_{ix}$ ;  $\bar{F}_{iy} = -m_i a_{iy}$ .

Момент сил инерций  $i$ -го звена  $M_{\varphi_i} = -y_{is} \cdot \varepsilon_i$ , где  $y_{is}$  — момент инерции относительно оси, проходящей через центр массы,  $\varepsilon_i$  — угловое ускорение.

Для аналитических расчетов будем применять правую систему координат, при этом иногда бывает полезно с целью упрощения для каждой структурной группы использовать свою систему координат.

При расчете аналитическим способом момент некоторой силы (рис. 1) относительно точки  $C$  можно найти по формуле

$$M_C(F_i) = -F_{ix} \cdot l \sin \varphi_i + F_{iy} \cdot l \cos \varphi_i, \quad (1)$$

где  $l = l_{CD} = \sqrt{(x_D - x_C)^2 + (y_D - y_C)^2}$  — расстояние между точками  $C$  и  $D$ ,  $\varphi_i$  — угловая координата вектора  $\bar{r} = \overline{CD}$ , определяемая в общем случае по формулам

$$\sin \varphi_i = (y_D - y_C)/l,$$

$$\cos \varphi_i = (x_D - x_C)/l$$

или же с учетом знаков синуса и косинуса по выражению

$$\varphi_i = \arctg((y_D - y_C)/(x_D - x_C)).$$

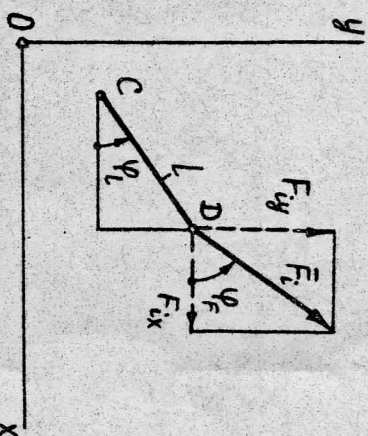


Рис. 1

Если известны модуль вектора силы  $F_i$  и его угловая координата  $\varphi_i$  (от оси  $OX$  в направлении вращения против часовой стрелки), то формула (1) примет вид

$$M_C(F_i) = -F_i \cos \varphi_i \cdot l \sin \varphi_i + F_i \sin \varphi_i \cdot l \cos \varphi_i,$$

или же в более простой форме

$$M_C(F_i) = F_i l \sin(\varphi_i - \varphi_r). \quad (2)$$

Наибольшее применение находят модификации двухпроводовых структурных групп, изображенных на рис. 2, 3, 4.

Для первой структурной группы звеньев  $i$ ,  $j$  (рис. 2а) при графическом решении (рис. 2а, б) полезно использовать разложение неизвестных сил в крайних парниках  $B$  и  $P$  на продольные (вдоль звена) и поперечные составляющие. Тогда силы  $F_i$  и  $F_j$  определены из уравнений моментов сил, приложенных соответственно к звено  $i$  и звено  $j$ , относительно точки  $C$ .

Для звена  $i$

$$\sum M_C = F_i^2 \cdot l_{CD} + M_C(F_i) + M_C(\varphi_i) + M_{\varphi i} = 0,$$

откуда можно найти силу  $F_i^2$ . Плечи сил находят из чертежа, например плечо силы инерции  $M_{\varphi i} = CC'/\mu_i$ , где  $\mu_i$  — масштаб схемы,  $mm/mm$ ,  $CC'$  — отрезок,  $mm$ .

Аналогично для звена  $j$

$$\sum M_C = F_j^2 \cdot l_{AC} + M_C(G_j) + M_C(\varphi_j) + M_{\varphi j} = 0,$$

откуда определяют силу  $F_j^2$ .

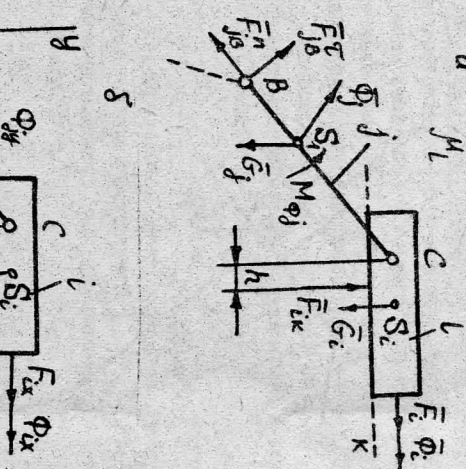
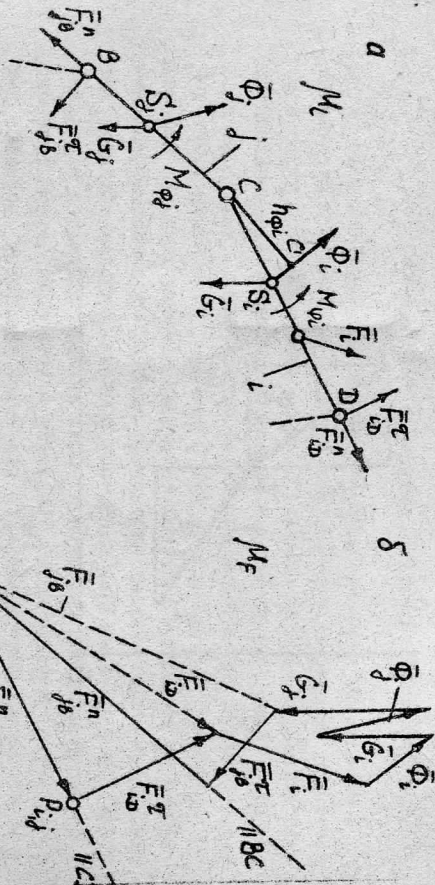
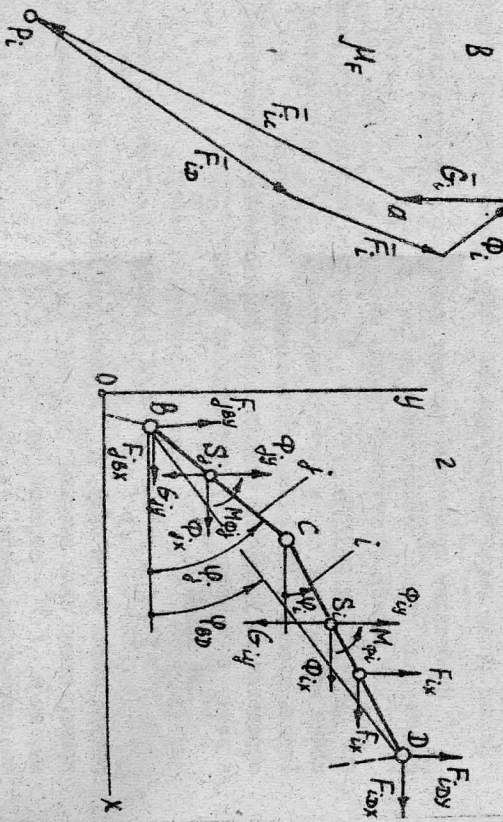


Рис. 3

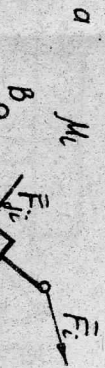
Затем рассматривают всю структурную группу, и из векторного уравнения сил путем построения плана сил находят неизвестные силы  $F_{1D}$  и  $F_{1B}$ :

Графическое решение этого уравнения дано на плане сил, приложенных к звеньям  $i$ ,  $j$  (см. рис. 26), построенном в некотором

Графическое решение этого уравнения дано на плане сил, приложенных к звеньям  $i$ , (см. рис. 26), построенном в некотором масштабе  $\mu_f$ .

$$\bar{F}_{CD} = \bar{F}_{CD}^R + \bar{F}_{CD}^T, \quad \bar{F}_{jB} = \bar{F}_{jB}^R + \bar{F}_{jB}^T$$

Рис. 2



При аналитическом решении будем считать, что до этого были найдены составляющие сил инерции звеньев по координатным осям (проекции векторов) и моменты сил инерции. Внешняя нагрузка, например в виде силы  $\bar{F}_i^c$ , может быть задана модулем вектора (абсолютная величина) и угловой координатой  $\varphi_{F_i^c}$  или же проекциями  $F_{iX}^c$ ,  $F_{iY}^c$  на координатные оси (рис. 2г). Уравнение моментов сил, приложенных к звену  $i$ , относительно точки  $C$  согласно формуле (1):

$$-F_{iDx} \cdot \ell_{iD} \sin \varphi_i + F_{iDy} \cdot \ell_{iD} \cos \varphi_i + M_{ic} = 0, \quad (3)$$

где  $M_{ic}$  – алгебраическая сумма моментов относительно точки  $C$  всех остальных силовых факторов ( $F_i^c$ ,  $\varphi_i^c$ ,  $M_{phi,i}$ ,  $G_i^c$ ). Уравнение моментов сил, приложенных к звеньям  $i$ ,  $j$ , относительно точки  $B$ :

$$-F_{iDx} \cdot \ell_{iD} \sin \varphi_{iB} + F_{iDy} \cdot \ell_{iD} \cos \varphi_{iB} + M_{jB} = 0, \quad (4)$$

где  $M_{jB}$  – сумма моментов относительно точки  $B$  всех остальных силовых факторов ( $F_i^c$ ,  $\varphi_i^c$ ,  $G_i^c$ ,  $M_{phi,i}$ ,  $\varphi_{F_i^c}$ ,  $M_{phi,j}$ ), расположенных к звеньям  $i$ ,  $j$ , а расстояние  $\ell_{iD}$  и угловую координату вектора  $\delta\bar{D}$  определяют по формулам

$$\ell_{iD} = \sqrt{(x_D - x_i)^2 + (y_D - y_i)^2}, \quad \varphi_{iD} = \arctg \frac{y_D - y_i}{x_D - x_i}.$$

Моменты известных сил находят с помощью аналогичных соотношений, например

$$M_B(\varphi_{iB}) = -F_{iB} \ell_{iB} \sin \varphi_i + F_{cSi} \ell_{cSi} \sin \varphi_i,$$

$$M_B(\varphi_{jB}) = -F_{jB} \ell_{jB} \cos \varphi_j + F_{cSj} \ell_{cSj} \cos \varphi_j.$$

Решение системы уравнений (3), (4) относительно неизвестных сил  $F_{iDx}$  и  $F_{iDy}$  приводит к формулам

$$F_{iDx} = (M_{ic} \cos \varphi_{iB} / \ell_{iB} - M_{jB} \cos \varphi_i / \ell_{iB}) / \sin(\varphi_{iD} - \varphi_i), \quad (5)$$

$$F_{iDy} = (M_{ic} \sin \varphi_{iB} / \ell_{iB} - M_{jB} \sin \varphi_i / \ell_{iB}) / \sin(\varphi_{iD} - \varphi_i). \quad (6)$$

Для этого на плане сил, приложенных к звену  $i$  (см. рис. 2в), достаточно соединить прямой точки  $a$  и  $P_i$ . Тогда  $F_{iD} = a\rho_i / \mu_F$ .

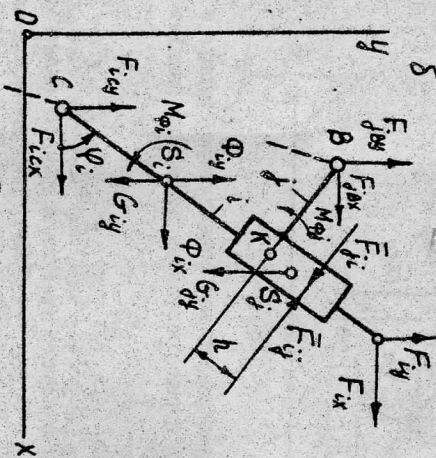


Рис. 4

Силу в среднем шарнире  $C$  находят из уравнения сил для любого из звеньев  $i$ ,  $j$ , например для звена  $i$ :

$$\bar{F}_{iD} + \bar{F}_i + \bar{G}_i + \bar{G}_c = 0.$$

Для этого на плане сил, приложенных к звену  $i$  (см. рис. 2в), достаточно соединить прямой точки  $a$  и  $P_i$ . Тогда  $F_{iD} = a\rho_i / \mu_F$ .

Решение системы уравнений (11), (12) с учетом равенства  
 $= -\bar{F}_{j^*}$  дает формулы:

(13)  $F_{ij} = N_{in} - N_{in} \cdot F_i$   
дает формулы:

$$F_{ij} = (M_{jB} - M_{ik})/e_{cr}, \quad (14)$$

После этого при графическом решении силы  $\bar{F}_c$  и  $\bar{F}_b$  в шарнирах  $C$  и  $B$  находят из векторных уравнений сил, приложенных соответственно к звену  $c$  или  $b$ , с помощью плана сил аналогично рис. 2в.

При аналитическом решении силы  $F_{cx}$ ,  $F_{cy}$  и  $F_{bx}$ ,  $F_{by}$  находят из уравнений проекций сил, приложенных соответствующим звену  $c$  или  $b$ .

2. ГРАФИЧЕСКИЙ РАСЧЕТ ШЕСТИЗВЕННОГО РИДЖНОГО МЕХАНИЗМА ПРИ ПОСЛОДОВАТЕЛЬНОМ ДЕЙСТВИИ НА ЭВМ

На рис. 5а дана кинематическая схема шестизвездного рычажно-го механизма, преобразующего непрерывное вращательное движение звена I (крыльчатки АВ) в возвратно-поступательное движение ползуна 5.

Исходные данные. Размеры, характеризующие кинематическую схему:  $a = 0,170$  м;  $b = 0,340$  м;  $\ell_1 = \ell_{AB} = 0,100$  м;  $\lambda_2 = \ell_{BC}/\ell_1 = 4$ ;  $\lambda_{S2} = \ell_{AS2}/\ell_{BC} = 0,5$ ;  $\lambda_3 = \ell_{CD}/\ell_1 = \lambda_{D2} = \ell_{DE}/\ell_1 = 3$ ;  $\lambda_4 = \ell_{EH}/\ell_1 = 2$ ;  $\lambda_5 = \ell_1/\ell_2 = 2,5$ ;  $\lambda_{S4} = \ell_{EF}/\ell_{EH} = 0,5$ . Обобщенная координата механизма  $\varphi_2$ ; угловая скорость начального звена 1  $\omega_1 = 100$  рад/с = const. Массы и моменты инерции звеньев:  $m_1 = 50$  кг;  $J_{15} = 20$  кг·м<sup>2</sup>;  $m_2 = 5$  кг;  $J_{25} = 0,01$  кг·м<sup>2</sup>;  $m_3 = 8$  кг;  $J_{35} = 0,2$  кг·м<sup>2</sup>;  $m_4 = 2$  кг;  $J_{45} = 0,007$  кг·м<sup>2</sup>;  $m_5 = 6$  кг. Внешняя нагрузка: сила,  $F_5(\varphi_1)$ , приложенная к ползуноу, и момент  $M_5(\varphi_1)$ , приложенный к звену 1 (закон движения механизма задан и известна нагрузка  $F_5(\varphi_1)$  на выходное звено 5, а момент  $M_5(\varphi_1)$  должен быть найден).

Выполним силовой расчет данного механизма в поэзии, когда звено 1 повернуто на угол  $30^\circ$  относительно положения  $A\dot{B}$ , характеризующего крайнее положения коромысла 3 и ползуна 5. В этот момент времени сила  $F_5 = 1000$  Н.

Графическое решение. Кинематическую схему механизма показанную на рисунке, черчим в масштабе в заданном положении. Так, если отрезок  $AB$  = 25 мм, а истинная длина  $\ell_{AB}$  = 0,1 м, то масштаб  $M_e = AB : \ell_{AB}$

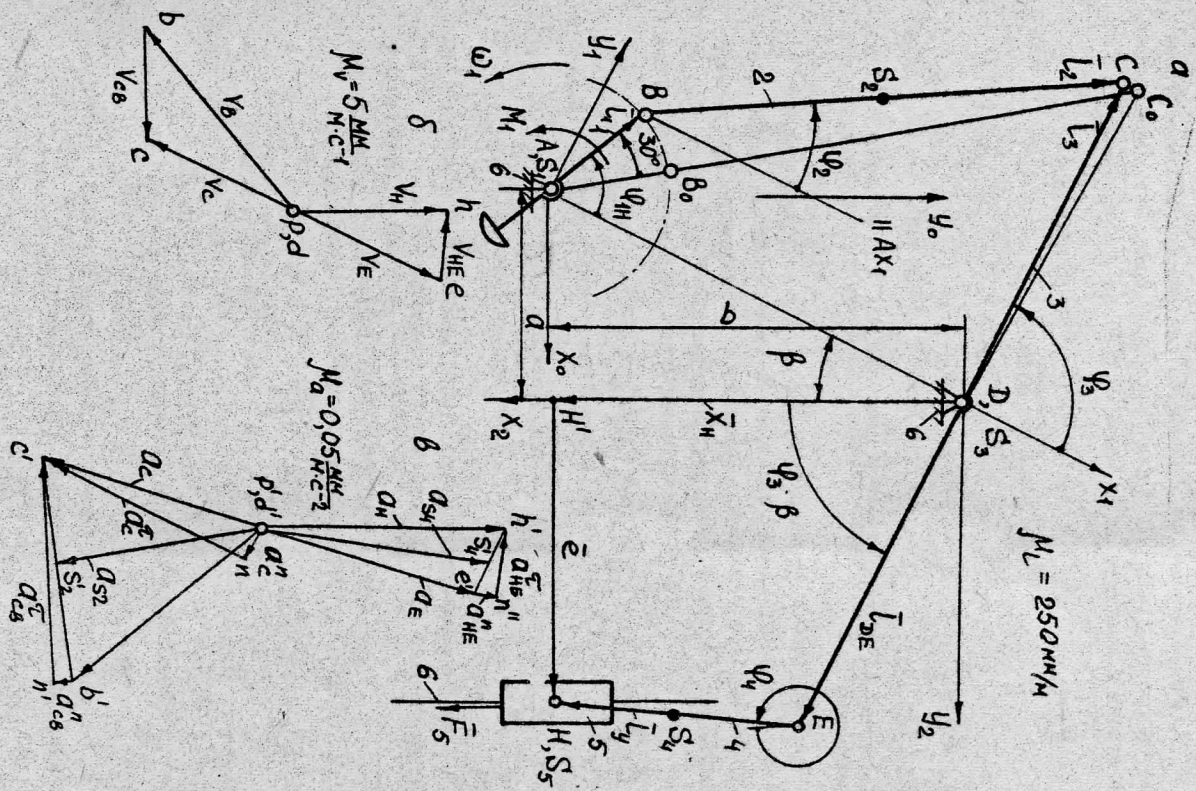


Рис. 5

Для определения сил и моментов сил инерции звеньев строят план скоростей (рис. 5б) и план ускорений (рис. 5в). План скоростей строят в масштабе  $\mu_V = 5 \text{ мм}/(\text{м.с}^{-2})$  по уравнениям:

$$\bar{v}_\beta = \omega_i \cdot \ell_{AB}; \quad \frac{\bar{v}_c}{\ell_{CD}} = \bar{v}_\beta + \frac{\bar{v}_{CB}}{\ell_{CB}}; \quad v_\xi = v_c \cdot \frac{\ell_D}{\ell_{CD}},$$

$$\frac{\bar{v}_H}{\ell_{DE}} = \bar{v}_E + \frac{\bar{v}_{HE}}{\ell_{HE}}; \quad v_c = \rho c / \mu_V, \quad M/c; \quad v_\beta = c \delta / \mu_V, \quad v_{HE} = h \epsilon / \mu_V.$$

План ускорений строят в масштабе  $\mu_a = 0,05 \text{ мм}/(\text{м.с}^{-2})$  по уравнениям:

$$a_\beta = a_\beta^n = \omega_i^2 \cdot \ell_{AB}; \quad \frac{\bar{a}_c^n + \bar{a}_c^\tau}{\ell_{CD}} = \frac{\bar{a}_\beta^n + \bar{a}_{CB}^\tau}{\ell_{CB}} + \frac{\bar{a}_{CE}^\tau}{\ell_{CE}};$$

$$\frac{\bar{a}_H^n}{\ell_{HE}} = \bar{a}_E + \frac{\bar{a}_{HE}^\tau}{\ell_{HE}}, \quad a_E^n = v_{HE}^2 / \ell_{HE};$$

$$a_c^n = v_c^2 / \ell_{CD}; \quad a_c^\tau = \bar{v}_{CB}^2 / \ell_{CB}; \quad a_E = a_c \cdot \frac{\ell_D}{\ell_{CD}};$$

$$\frac{\delta' s_2'}{\ell_{CE}} = \frac{B s_2}{BC}; \quad \frac{e' s_4'}{\ell_{CE}} = \frac{E s_4}{HE}.$$

Линейные ускорения центров масс звеньев 2, 4 и угловые ускорения звеньев 2, 3, 4 определяют по формулам:

$$a_{S2} = \rho' s_2 / \mu_a; \quad a_{S4} = \rho' s_4 / \mu_a;$$

$$\dot{E}_2 = a_{CS} / \ell_{CS},$$

$$\text{где } a_{CS} = n_C \cdot \ell_{CA};$$

$$\dot{E}_3 = a_{CE} / \ell_{CE},$$

$$\text{где } a_C = n_C / \mu_a;$$

$$\dot{E}_4 = a_{HE} / \ell_{HE},$$

$$\text{где } a_H = n_H / \mu_a.$$

Большие главные векторы сил инерции и главных моментов

$$|\bar{\varphi}_1| = -m_1 \bar{a}_{S1}| = 0; |\mathcal{M}_{\varphi 1}| = -J_{15} \cdot \mathcal{E}_1| = 0; |\bar{\varphi}_2| = -m_2 \cdot a_{S2}| = 5 \cdot 840 = 4200 \text{ Н};$$

сил инерции звеньев определяют по формулам:

$$|\bar{\varphi}_3| = -m_3 \cdot \bar{a}_{S3}| = 0; |\mathcal{M}_{\varphi 3}| = |J_{35} \cdot \mathcal{E}_3| = 92 \cdot 326 \times 653,4 \text{ Н.м};$$

$|\mathcal{M}_{\varphi 4}| = |J_{45} \cdot \mathcal{E}_4| = 9007,1 \times 50 = 12,2 \text{ Н.м};$

$$|\bar{\varphi}_5| = |-m_3 \cdot \bar{a}_H| = 6 \cdot 990 = 5940 \text{ Н}; \quad M_{\varphi 5} = 0.$$

$$|\mathcal{M}_{\varphi 2}| = |-J_{25} \cdot \mathcal{E}_2| = 901 \cdot 2350 = 23,5 \text{ Н.м};$$

$$|\bar{\varphi}_3| = |-m_3 \cdot \bar{a}_{S3}| = 0; \quad |\mathcal{M}_{\varphi 3}| = |-J_{35} \cdot \mathcal{E}_3| = 92 \cdot 326 \times 653,4 \text{ Н.м};$$

$$|\mathcal{M}_{\varphi 4}| = |-J_{45} \cdot \mathcal{E}_4| = 9007,1 \times 50 = 12,2 \text{ Н.м};$$

Силы тяжести звеньев  $G_1 = m_1 g \approx 10 \text{ м}; \quad G_2 = 500 \text{ Н}; \quad G_3 = 50 \text{ Н};$

$G_3 = 80 \text{ Н}; \quad G_4 = 20 \text{ Н}; \quad G_5 = 60 \text{ Н}$ . Далее рассматривается статическое определение структурных групп звеньев 4, 5 и 2, 3 (рис. 6а).

Линия действия силы  $F_{56}$ , приложенной к ползуну 5 от стойки 6, проходит через точку H, поскольку линии действия всех остальных сил, приложенных к ползуну, проходят через эту точку. Поэтому силу  $F_{56}$  легко найти из уравнения моментов сил, приложенных к звеньям 4, 5, относительно точки E

$$-F_{56} \cdot h_{56} + (F_5 + G_5 + G_3) h_5 - \varphi_4 h_{46} + M_{\varphi 4} + G_4 \cdot h_{46} = 0,$$

где  $h_i$  – плечи соответствующих сил, например

$$h_5 = EE' / \mu_e = 5/250 = 0,020 \text{ м};$$

$$F_{56} = ((F_5 + G_5 + G_3) h_5 - \varphi_4 \cdot h_{46} + M_{\varphi 4} + G_4 \cdot h_{46}) / h_{56} =$$

$$= ((11000 + 60 + 5940) \cdot 0,020 - 1560 \cdot 0,008 + 12,2 + 20 \cdot 0,012) / 0,196 =$$

$$= 699 \text{ Н}$$

(знак "плюс" означает, что выбранное предположение тельно направление вектора силы  $\bar{F}_{56}$  соответствует действительному).

Из векторного уравнения сил, приложенных к звеньям 4, 5,

$$\bar{F}_3 + \bar{G}_3 + \bar{F}_{56} + \bar{\varphi}_4 + \bar{G}_4 + \bar{F}_{56} + \bar{F}_{43} = 0.$$

Теперь можно найти силу  $F_{43}$  в шарнире E.

Из плана сил (рис. 6б) для звеньев 4, 5, построенного в масштабе  $\mu_F = 0,01 \text{ мм/Н}$ , сила  $F_{43} = \alpha_{45} \cdot \ell_{45} / \mu_F = 89/0,01 = 8900 \text{ Н}$ .

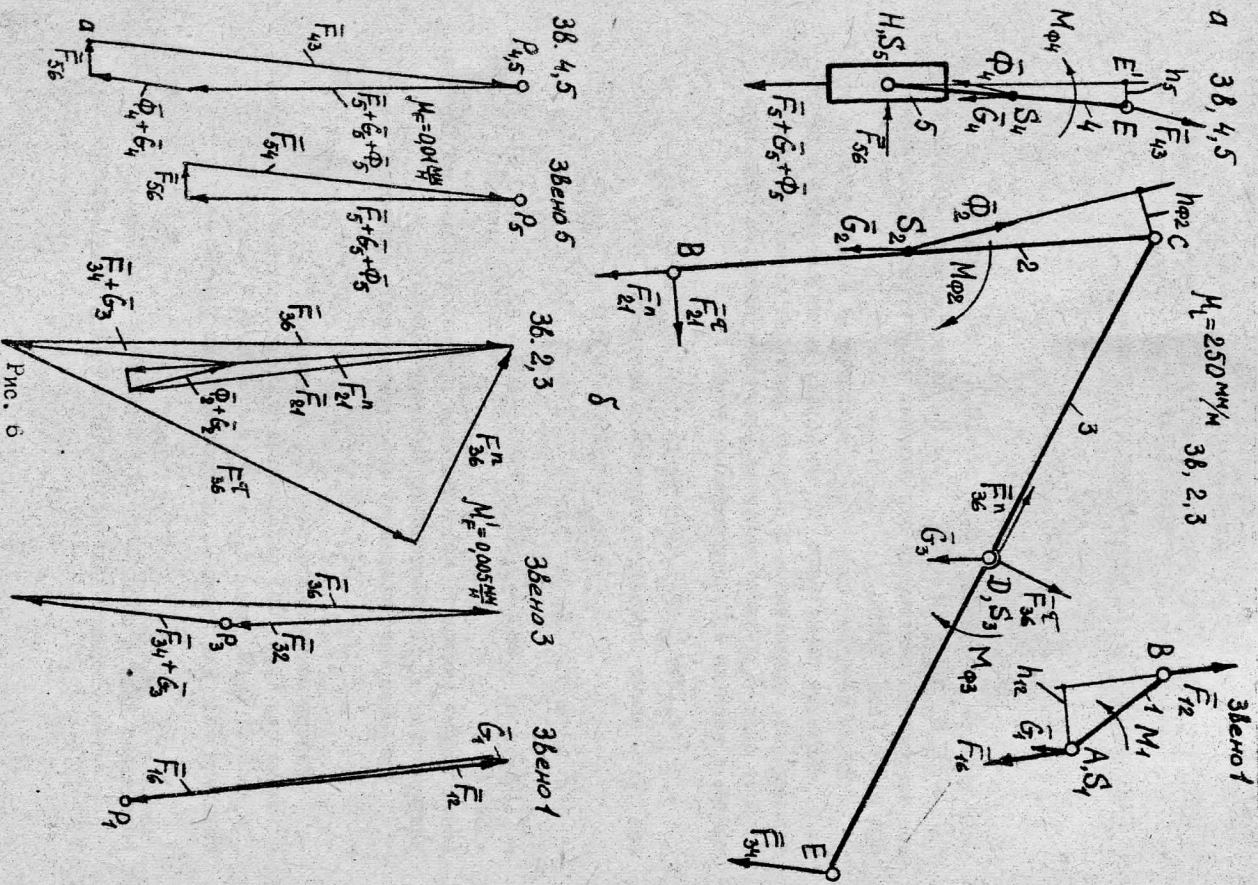
Из плана сил для звена 5, построенного по уравнению

$$\bar{F}_3 + \bar{G}_3 + \bar{F}_{56} + \bar{F}_{34} = 0,$$

определяют силу в шарнире H:  $F_{34} = 6900 \text{ Н}$ .

Затем рассмотривают структурную группу звеньев 2, 3. Сила

$$F_{34} = -F_{43}.$$



Для звена 2 сумма моментов сил относительно точки С  $\sum M_C = 0$  или конкретно

$$F_{21}^T \cdot l_{BC} - \varphi_2 h_{2\varphi 2} - M_{2\varphi 2} - G_2 h_{C2} = 0,$$

откуда, после подстановки численных значений, находят силу  $F_{21}^T = (4200,0,040 + 23,5 + 50,0,008)/0,3 = 540$  Н.

Аналогично для звена 3  $\sum M_C = 0$  или конкретно

$$F_{36}^T \cdot l_{CD} - F_{34} \cdot h_{34} - M_{3\varphi 3} - G_3 \cdot h_{C3} = 0,$$

откуда

$$F_{36}^T = (8900 \cdot \frac{139}{250} + 653,4 + 80 \cdot \frac{66}{250})/0,3 = 18743 \text{ Н.}$$

Силы  $F_{21}^T$  и  $F_{36}^T$  определяют из плана сил для звеньев 2,3 (см. рис. 6б), построенного по уравнению

$$\underline{\underline{F_{21}^T}} + \underline{\underline{F_{36}^T}} + \underline{\underline{G_2}} + \underline{\underline{G_3}} + \underline{\underline{F_{34}^T}} + \underline{\underline{F_{36}^T}} + \underline{\underline{F_{21}^T}} = 0.$$

Силы в шарнирах  $\delta$  и  $D$ :

$$F_{21} = \underline{\underline{F_{21}^T}} + \underline{\underline{F_{21}^T}}, \quad F_{36} = \underline{\underline{F_{36}^T}} + \underline{\underline{F_{36}^T}},$$

их числовые значения получают делением величины соответствующего отрезка на масштаб сил  $\mu_F' = 0,005 \text{ мм/Н.}$

$$F_{21} = 1500 \text{ Н; } F_{36} = 20800 \text{ Н.}$$

Силу  $F_{32}$  в шарнире С находят из уравнения сил, приложенных к звену 3,

$$\underline{\underline{F_{34}^T}} + \underline{\underline{G_3}} + \underline{\underline{F_{36}^T}} + \underline{\underline{F_{32}}} = 0.$$

Из плана сил (см. рис. 6б)

$$F_{32} = \frac{55 \text{ мм}}{0,005 \text{ мм/Н}} = 11000 \text{ Н.}$$

Силу в шарнире А и момент  $M_A$  определяют из схемы нагрузления начального звена 1 (см. рис. 6а) по уравнениям:  $\underline{\underline{F_{12}}} = -\underline{\underline{F_{21}}}$ ;  $\underline{\underline{F_{12}}} + \underline{\underline{G_1}} + \underline{\underline{F_{16}}} = 0$ ;  $M_{1\varphi 1} = -\varphi_1 \cdot \varepsilon_1 = 0$ ;  $M_1 - F_{12} \cdot h_{12} = 0$ .

Результаты:  $F_{16} = 15400 \text{ Н}$  (из плана сил на рис. 6б);  $M_1 = 15400 \cdot 0,052 = 801 \text{ Н}\cdot\text{м.}$

Аналитическое решение. Линейные ускорения центров масс и угловые ускорения звеньев механизма определяют методом проектирования векторных контуров:  $A B C D A$  в системе координат  $A X_1 Y_1$  и  $D E F H D$  в системе  $D X_2 Y_2$ . Для первого контура получают уравнения

$$\begin{cases} \ell_1 \cos \varphi_1 + \ell_2 \cos \varphi_2 = \ell_{AD} + \ell_3 \cos \varphi_3, \\ \ell_1 \sin \varphi_1 + \ell_2 \sin \varphi_2 = \ell_3 \sin \varphi_3, \end{cases} \quad (15)$$

где

$$\ell_{AD} = \sqrt{\alpha^2 + \delta^2}; \quad \ell_2 = \ell_{BC}; \quad \ell_3 = \ell_{DC}.$$

Решение системы уравнений (15) дает функции положения  $\varphi_3(\varphi_1)$  и  $\varphi_2(\varphi_1)$  в следующем виде:

$$\varphi_3 = \arcsin((\sin \varphi_1 / \ell_{AD}) - \arccos((\lambda_{BD}^2 + \lambda_3^2 - \lambda_2^2) / (\ell_{AD}^2 \lambda_3)),$$

$$\varphi_2 = \arcsin((\lambda_3 \sin \varphi_3 - \sin \varphi_1) / \lambda_2).$$

Затем определяют функцию положения центра массы  $S_2$  в виде зависимости его координат от обобщенной координаты

$$x_{S2} = \ell_1 \cos \varphi_1 + \ell_{BS2} \cos \varphi_2; \quad (16)$$

аналогично для второго контура

$$\begin{cases} \ell_{DE} \cos(\varphi_3 - \beta) + \ell_4 \cos \varphi_4 = X_4, \\ \ell_{DE} \sin(\varphi_3 - \beta) + \ell_4 \sin \varphi_4 = e, \end{cases} \quad (17)$$

где  $\beta = \arctg(a/\delta) = \arctg(0.17/0.34) = 26.565^\circ$ .

Решение системы уравнений (17) дает функции положения  $\varphi_4(\varphi_1)$  и  $X_4(\varphi_1)$ :

$$\varphi_4 = \arcsin((\lambda_2 - \lambda_{DE} \sin(\varphi_3 - \beta)) / \lambda_4);$$

$$X_4 = \ell_1 \cos \varphi_1 \cdot \cos(\varphi_3 - \beta) + \lambda_4 \cos \varphi_4.$$

Далее определяют функцию положения центра массы  $S_4$ :

$$\begin{cases} X_{S4} = \ell_{DE} \cos(\varphi_3 - \beta) + \ell_{ES4} \cos \varphi_4, \\ Y_{S4} = \ell_{DE} \sin(\varphi_3 - \beta) + \ell_{ES4} \sin \varphi_4. \end{cases} \quad (18)$$

Дифференцирование уравнений (15)-(18) по  $\varphi_1$  дает первые производные функций в следующем виде:

$$U_{21} = \frac{d\varphi_2}{d\varphi_1} = \sin(\varphi_1 - \varphi_2) / (\lambda_2 \sin(\varphi_3 - \varphi_2));$$

$$U_{31} = \frac{d\varphi_3}{d\varphi_1} = \sin(\varphi_1 - \varphi_3) / (\lambda_3 \sin(\varphi_3 - \varphi_2));$$

$$u_{41} = -\lambda_{CD} \cos(\varphi_3 - \beta) \cdot u_{31} / (\lambda_4 \cos \varphi_4),$$

$$\text{где } \lambda_{CD} = \ell_{CD} / \ell_1;$$

$$v_{PS2X} = \frac{dx_{S2}}{d\varphi_1} = -\ell_1 (\sin \varphi_1 + \lambda_2 \lambda_{S2} \sin \varphi_2 \cdot u_{21});$$

$$v_{PS2Y} = \frac{dy_{S2}}{d\varphi_1} = \ell_1 (\cos \varphi_1 + \lambda_2 \lambda_{S2} \cos \varphi_2 \cdot u_{21});$$

$$v_{PS4X} = \frac{dx_{S4}}{d\varphi_1} = -\ell_1 (\lambda_{DE} \cos(\varphi_3 - \beta) \cdot u_{31} + \lambda_4 \lambda_{S4} \sin \varphi_4 \cdot u_{41});$$

$$v_{PS4Y} = \frac{dy_{S4}}{d\varphi_1} = \ell_1 (\lambda_{DE} \cos(\varphi_3 - \beta) \cdot u_{31} + \lambda_4 \lambda_{S4} \cos \varphi_4 \cdot u_{41});$$

Второе дифференцирование по  $\varphi$  дает вторые передаточные функции аналогичных и линейных ускорений:

$$\begin{aligned} \varepsilon_{P2} &= \frac{du_{21}}{d\varphi_1} = (\cos(\varphi_1 - \varphi_3) + \lambda_2 \cdot u_{21} \cos(\varphi_3 - \varphi_2) - \lambda_3 u_{31}^2) / (\lambda_2 \sin(\varphi_3 - \varphi_2)); \\ \varepsilon_{P3} &= \frac{du_{31}}{d\varphi_1} = (\cos(\varphi_1 - \varphi_3) + \lambda_2 u_{21}^2 - \lambda_3 \cos(\varphi_3 - \varphi_2) u_{31}^2) / (\lambda_3 \sin(\varphi_3 - \varphi_2)); \\ \varepsilon_{P4} &= \frac{du_{41}}{d\varphi_1} = (\lambda_{DE} \cdot (\sin(\varphi_3 - \beta) \cdot u_{31}^2 - \cos(\varphi_3 - \beta) - \varepsilon_{P3}) + \\ &\quad + \lambda_4 \sin \varphi_4 \cdot u_{41}^2) / (\lambda_4 \cos \varphi_4); \end{aligned}$$

$$a_{P2} = \frac{d\delta \varphi_2}{d\varphi_1} = -\ell_1 (\lambda_{DE} \cdot (\cos(\varphi_3 - \beta) \cdot u_{31}^2 + \sin(\varphi_3 - \beta) \cdot \varepsilon_{P3}) +$$

$$+ \lambda_4 \cdot (\cos \varphi_4 \cdot u_{41}^2 + \varepsilon_{P4} \sin \varphi_4));$$

$$a_{P3} = \frac{d\delta \varphi_3}{d\varphi_1} = -\ell_1 (\cos \varphi_1 + \lambda_2 \lambda_{S2} (\cos \varphi_2 \cdot u_{21}^2 + \sin \varphi_2 \cdot \varepsilon_{P2}) +$$

$$a_{P4} = -\ell_1 (\cos \varphi_1 + \lambda_2 \lambda_{S2} (\sin \varphi_2 \cdot u_{21}^2 - \cos \varphi_2 \cdot \varepsilon_{P2}));$$

$$a_{PS2X} = -\ell_1 (\lambda_{DE} \cdot (\cos(\varphi_3 - \beta) \cdot u_{31}^2 + \varepsilon_{P3} \sin(\varphi_3 - \beta)) +$$

$$+ \lambda_4 \lambda_{S4} (u_{41}^2 \cos \varphi_4 + \varepsilon_{P4} \sin \varphi_4));$$

$$a_{PS2Y} = \ell_1 (\lambda_{DE} \cdot (\cos(\varphi_3 - \beta) \cdot \varepsilon_{P3} - \sin(\varphi_3 - \beta) \cdot u_{31}^2) +$$

$$+ \lambda_4 \lambda_{S4} (\varepsilon_{P4} \cos \varphi_4 - u_{41}^2 \sin \varphi_4)).$$

Линейные ускорения центров масс и угловые ускорения звеньев при  $\omega_4 = const$  определяют по формулам:

$$\ddot{\varepsilon}_i = \ddot{\varepsilon}_{pi} \cdot \omega_i^2; \quad a_{3i} = a_{q3i} \cdot \omega_i^2; \quad a_{3i\dot{y}} = a_{q3i\dot{y}} \cdot \omega_i^2.$$

Числовые значения кинематических параметров для заданного положения механизма следующие:

$$\begin{aligned} \varphi &= \angle B_0 A D + 30^\circ = 66,8^\circ; \\ \varphi_1 &= 89,85^\circ; \quad \varphi_2 = 31,34^\circ; \\ \varphi_3 &= -0,11478; \quad \varphi_4 = 0,22677; \\ \varphi_4 &= 354,84^\circ; \quad \varphi_{41} = -0,15355; \\ \varepsilon_{q2} &= 0,201638; \quad \varepsilon_{q3} = 0,30750; \\ \varepsilon_{q4} &= -0,14116; \quad \alpha_{qH} = -0,09657; \\ \alpha_{q32x} &= -0,06262; \quad \alpha_{q32y} = -0,05884; \\ \alpha_{q34x} &= -0,09255; \quad \alpha_{q34y} = 0,013847; \\ \alpha_{q52x} &= 2016 \text{ рад/с}^2; \quad \alpha_3 = 3075 \text{ рад/с}^2; \\ \alpha_{q52y} &= -1412 \text{ рад/с}^2; \quad \alpha_H = -965,7 \text{ м/с}^2; \\ \alpha_{q54x} &= -626,2 \text{ м/с}^2; \quad \alpha_{q54y} = -588,4 \text{ м/с}^2; \\ \alpha_{q54x} &= -929,5 \text{ м/с}^2; \quad \alpha_{q54y} = 138 \text{ м/с}^2. \end{aligned}$$

Силы инерции и моменты сил инерции звеньев:

$$\begin{aligned} \varphi_1 &= 0, M_{p1} = 0, \quad \varphi_{2x} = -m_2 a_{52x} = -5 \cdot (-626,2) = 3131 \text{ Н}; \quad \varphi_{2y} = -m_2 a_{52y} = -5 \cdot (-929,5) = 4647,5 \text{ Н}; \\ \varphi_2 &= -0,01 \cdot 2016 = -20,16 \text{ Н·м}; \\ M_{p3} &= -y_3 \cdot \varepsilon_2 = -0,2 \cdot 3075 = -615 \text{ Н·м}; \quad \varphi_{3x} = -m_3 a_{54x} = -2 \cdot (-929,5) = 1859 \text{ Н}; \quad \varphi_{3y} = -m_3 a_{54y} = -2 \cdot (-929,5) = -1859 \text{ Н}; \\ \varphi_4 &= -0,007 \cdot (-1412) = 9,38 \text{ Н·м}; \quad \varphi_{3x} = -m_3 \cdot a_H = -6 \cdot (-965,7) = 5794 \text{ Н}. \end{aligned}$$

Далее решают основную задачу – определение сил в кинематических парах механизма по методике, изложенной в гл. I.

Сначала рассматривают структурную группу звеньев 4,5 (см. рис. 6а). Для определения силы  $F_{56y} = f_{56}$  находят сумму моментов  $M_{5H}$  всех остальных сил, приложенных к звену 5, относительно точки  $H$  и сумму моментов  $M_{54E}$  всех остальных сил, приложенных к звеням 4,5, относительно точки  $E$  (в системе координат  $x_2 \mathcal{D}_2$ ):

$$\begin{aligned} M_{5H} &= 0; \quad M_{54E} = -(F_{5x} + G_{5x} + \varphi_{5x}) \ell_{EH} \cdot \sin \varphi_4 - \\ &- (\varphi_{4x} + G_{4x}) \ell_{ES4} \sin \varphi_4 + \varphi_{4y} \ell_{ES4} \cos \varphi_4 + M_{p4} = \\ &= -(1000 + 60 + 5794) 0,2 \sin 354,84^\circ - (1859 + 20) 0,1 \cdot \\ &\cdot 0,7 354,84^\circ + (-276) 0,1 \cdot \cos 354,84^\circ + 9,38 = 122,58. \\ \text{По формуле (9)} \\ F_{56y} &= (M_{5H} - M_{54E}) / (\ell_{EH} \cos \varphi_4) = -122,58 / (0,2 \cdot 0,995947) = -615,4 \text{ Н}. \end{aligned}$$

Силу в шарнире  $H$ , приложенную к полузвину 5, находят из уравнений проекций сил,

$$F_{54x} + F_{5x} + G_{5x} + \varphi_{5x} = 0,$$

откуда

$$\begin{aligned} F_{54x} &= -(1000 + 60 + 5794) = -6854 \text{ Н}; \\ F_{54y} + F_{56y} &= 0, \end{aligned}$$

оттуда

$$F_{54y} = -(-615,4) = 615,4 \text{ Н};$$

$$F_{54y} = \sqrt{F_{54x}^2 + F_{56y}^2} = 6881,6 \text{ Н}.$$

Угловую координату  $\psi_{54}$  вектора  $\vec{F}_{54}$  относительно оси  $x_2$  определяют по тригонометрическим функциям:

$$\begin{aligned} \sin \psi_{54} &= F_{54y} / F_{54} = 615,4 / 6881,6 = 0,089427; \\ \cos \psi_{54} &= F_{54x} / F_{54} = -6664 / 6881,6 = -0,955989, \\ \text{что дает угол } \psi_{54} &= 180^\circ - \arctg(\sin \psi_{54} / \cos \psi_{54}) = 180^\circ - 5,13^\circ = 174,87^\circ. \end{aligned}$$

Аналогично находят силу в шарнире  $E$ , приложенную к звену 4:

$$\begin{aligned} F_{43x} + F_{42x} + \varphi_{4x} + G_{4x} &= 0; \quad F_{43x} = -F_{54x} = 6854 \text{ Н}; \\ F_{43x} &= -(6854 + 1859 + 20) = -8733 \text{ Н}; \\ F_{43y} + F_{45y} + \varphi_{4y} &= 0; \quad F_{45y} = -F_{54y} = -615,4 \text{ Н}; \\ F_{43y} &= -(-615,4 - 276) = 891,4 \text{ Н}; \\ F_{43} &= \sqrt{F_{43x}^2 + F_{43y}^2} = 8778,4 \text{ Н}. \end{aligned}$$

Угловую координату  $\psi_{43}$  вектора  $\vec{F}_{43}$  с осью  $x_2$  вычисляют по соотношениям:

$$\sin \psi_{43} = F_{43y} / F_{43} = 891,4 / 8778,4 = 0,101545;$$

$$\cos \psi_{43} = F_{43x} / F_{43} = -8773 / 8778,4 = -0,999385;$$

$$\psi_{43} = 180^\circ - \arctg(\sin \psi_{43} / \cos \psi_{43}) = 180^\circ - 5,83^\circ = 174,17^\circ.$$

После определения сил в трех структурных группах звеньев 4,5 рассчитывают структурную группу звеньев 2,3 в системе координат  $x_1 \mathcal{A}_1 \mathcal{D}_1$ . Для неконечной силы  $\bar{F}_{36} = \bar{F}_{36x} + \bar{F}_{36y}$  в шарнире  $D$  вычисляют сумму моментов  $M_{3C}$  всех оставшихся сил, приложенных к звену 3, относительно точки  $C$  и сумму моментов  $M_{23B}$  всех оставшихся сил, приложенных к звеньям 2,3, относительно точки  $B$ .

В шарнире  $E$  к звену 3 приложена сила  $\bar{F}_{34} = -\bar{F}_{43}$ ; угол-

вую координату этого вектора в системе  $x_1 A y_1$  определяют по формуле  $\psi_{34}^{(1)} = \psi_{34}^{(2)} - (180^\circ - \beta)$ , но  $\psi_{34}^{(2)} = \psi_{43}^{(2)} + 180^\circ$ , следовательно,  $\psi_{34}^{(1)} = \psi_{34}^{(2)} - \beta = 174,17^\circ + 26,56^\circ = 200,73^\circ$ .

Момент силы  $F_{34}$  относительно точки  $C$  по формуле (2)

$$M_C(F_{34}) = F_{34} \cdot l_{CE} \sin(\psi_{34} - (\psi_3 + 180^\circ)) = 8778,4 \cdot 0,65669,12^\circ = -4921,15 \text{ Н}\cdot\text{м}.$$

Аналогично момент силы  $\bar{F}_3$  относительно точки  $C$

$$M_C(\bar{F}_3) = \bar{F}_3 l_{CD} \sin((180^\circ + \beta) - (\psi_3 + 180^\circ)) = 8090,3 \sin(26,56^\circ - 89,85^\circ) = -8090,3 \sin 63,29^\circ = -21,44 \text{ Н}\cdot\text{м};$$

$$M_{3C} = M_C(F_{34}) + M_C(\bar{F}_3) + M_{P3} = -4921,15 - 21,44 - 615 = 5557,59 \text{ Н}\cdot\text{м}$$

Чтобы определить моменты сил  $F_{34}$  и  $\bar{F}_3$  относительно точки  $B$ , найдем координаты точек  $B$ ,  $D$ ,  $E$  в системе  $x_1 A y_1$ :

$$x_B = l_{c23} \varphi_1 = 0,1 \cos 66,80^\circ = 0,0394 \text{ м};$$

$$y_B = l_{c1} \sin \varphi_1 = 0,1 \sin 66,80^\circ = 0,0919 \text{ м};$$

$$x_D = \sqrt{a^2 + b^2} = \sqrt{0,17^2 + 0,34^2} = 0,3801 \text{ м}; \quad y_D = 0;$$

$$x_E = x_D + l_{DE} \cos(\psi_3 + 180^\circ) = 0,3801 + 0,3 \cos(89,85^\circ + 180^\circ) = 0,3792;$$

$$y_E = y_D + l_{DE} \sin(\psi_3 + 180^\circ) = 0,3 \sin 269,85^\circ = -0,3000.$$

Расстояния между точками  $B$ ,  $D$  и  $B$ ,  $E$

$$l_{BD} = \sqrt{(x_D - x_B)^2 + (y_D - y_B)^2} = \sqrt{(0,3801 - 0,0394)^2 + (0,0919 - 0)^2} = 0,3529 \text{ м},$$

$$\frac{l_{BE}}{l_{BD}} = \frac{(x_E - x_B)^2 + (y_E - y_B)^2}{l_{BD}^2} = \sqrt{(0,3792 - 0,0394)^2 + (-0,3,000 - 0,0919)^2} = 0,5187 \text{ м}.$$

Угловые координаты векторов  $\overline{BD}$  и  $\overline{BE}$  в системе  $x_1 A y_1$

$$\psi_{BD} = \arctg\left(\frac{y_D - y_B}{x_D - x_B}\right) = \arctg\left(\frac{0 - 0,0919}{0,3801 - 0,0394}\right) = 344,90^\circ;$$

$$\psi_{BE} = \arctg\left(\frac{y_E - y_B}{x_E - x_B}\right) = \arctg\left(\frac{-0,3000 - 0,0919}{0,3792 - 0,0394}\right) = 310,93^\circ.$$

$$\text{По формуле (2)}$$

$$M_B(F_{34}) = F_{34} \cdot l_{BE} \sin(\psi_{34} - \psi_{BE}) = 8778,4 \cdot 0,5187 \sin(269,83^\circ - 310,93^\circ) = -4233,3 \text{ Н}\cdot\text{м};$$

$$M_B(F_{34}) = G_2 l_{B2} \sin((180^\circ + \beta) - \psi_2) = 50 \cdot 0,2 \sin(180^\circ + 26,56^\circ - 31,34^\circ) = 0,83 \text{ Н}\cdot\text{м}.$$

$$M_B(F_3) = F_3 l_{BD} \sin((180^\circ + \beta) - \psi_{BD}) = 80 \cdot 0,3529 \cdot \sin(180^\circ + 26,56^\circ - 344,90^\circ) = -18,77 \text{ Н}\cdot\text{м}.$$

По формуле (1)

$$M_B(\varphi_2) = -\varphi_{2x} l_{B2} \sin \psi_2 + \varphi_{2y} l_{B2} \cos \psi_2 = -3131,92 \cdot \sin 31,34^\circ + 2942 \cdot 0,2 \cos 31,34^\circ = 176,85 \text{ Н}\cdot\text{м};$$

$$M_{23B} = M_B(F_{34}) + M_B(F_3) + M_{P3} + M_B(\varphi_2) + M_{P2} = -4233,3 - 18,77 - 615 + 0,83 + 176,85 - 20,16 = -4749,55 \text{ Н}\cdot\text{м}.$$

По формуле (5), (6)

$$F_{36x} = (M_{3C} \cos \psi_{80} / l_{CD} - M_{23B} \cos \psi_3 / l_{BD}) / \sin(\psi_{80} - \psi_3) = (-5557,59 \cos 344,90^\circ / 0,3 - (-4749,55) \cos 89,85^\circ / 0,3529) :$$

$$\sin(344,9^\circ - 89,85^\circ) = 18348,77 \text{ Н};$$

$$F_{36y} = (M_{3C} \sin \psi_{80} / l_{CD} - M_{23B} \sin \psi_3 / l_{BD}) / \sin(\psi_3 - \psi_{80}) = (-5557,59 \sin 344,9^\circ / 0,3 - (-4749,55) \sin 89,85^\circ / 0,3529) :$$

$$\sin(89,85^\circ - 344,9^\circ) = 8935,10 \text{ Н}.$$

Сила в шарнире  $D$ , приложенная к звену 3,

$$F_3 = \sqrt{F_{36x}^2 + F_{36y}^2} = 20588,7 \text{ Н}.$$

Угловую координату  $\psi_{36}$  вектора  $\bar{F}_{36}$  от оси  $X_1$  вычисляют по соотношению

$$\sin \psi_{36} = \frac{F_{36y}}{F_3} = 8935,10 / 20588,7 = 0,4333981;$$

$$\cos \psi_{36} = \frac{F_{36x}}{F_3} = 18348,77 / 20588,7 = 0,9000920;$$

$$\psi_{36} = \arctg(\sin \psi_{36} / \cos \psi_{36}) = \arctg 0,4333981 = 25,42^\circ.$$

После определения силы в шарнире  $D$  остальные две силы в шарнирах  $C$  и  $B$  находят из уравнений проекций сил на координатные оси  $x_1$ ,  $y_1$ .

Для звена 3

правильного учета сил тяжести звеньев выводят общую для всего механизма систему координат  $\chi_0 A \gamma_0$ , начало которой совпадает с осью вращения кривошипа, при этом ось  $A \gamma_0$  – вертикальна.

На основе изложенного алгоритма составлена программа расчета для ЭВМ. Ввод исходных данных осуществляют в диалоговом режиме в такой последовательности:

$BAP$  – номер варианта задания;

$DFG$  – шаг изменения обобщенной координаты механизма (углы  $\varphi_1$ ), град;

$A, B$  – координаты  $a, b$  шарнира  $D$ , м;

$\ell_1$  – длина  $\ell_1$  начального звена (кривошипа), м;

$\ell_{A2}$  – относительная длина шатуна 2 ( $\lambda_2 = \ell_2/\ell_1$ );

$\lambda_{AS2}$  – относительное расстояние до центра масс звена 2 ( $\lambda_2 = \ell_{AS2}/\ell_2$ );

$\lambda_{A3}$  – относительная длина плеча коромысла 3 ( $\lambda_3 = \ell_{DC}/\ell_1$ );

$\lambda_{ADE}$  – относительная длина другого плеча коромысла ( $\lambda_{DE} = \ell_{DE}/\ell_1$ );

$\lambda_{A4}$  – относительная длина звена 4 ( $\lambda_4 = \ell_4/\ell_1$ );

$\lambda_{AS4}$  – относительное расстояние до центра масс звена 4 ( $\lambda_{AS4} = \ell_{ES4}/\ell_4$ );

$\lambda_{AE}$  – вневесность, относенная к длине кривошипа ( $\lambda_E = e/\ell_1$ );

$M_1, M_2, M_3, M_4, M_5$  – массы звеньев 1, 2, 3, 4, 5, кг;

$I_1$  – приведенный момент инерции первой группы звеньев, кг·м<sup>2</sup>;

$I_2, I_3, I_4$  – моменты инерции звеньев 2, 3, 4, кг·м<sup>2</sup>;

$\omega_0$  – средняя угловая скорость звена 1, рад/с;

$F_3(\lambda)$  – массив числовых значений силы  $F_3$ , Н.

Если направление силы  $F_3$  совпадает с положительным направлением оси  $\chi_2$ , то сила считается положительной, в противном случае сила  $F_3$  – отрицательна.

После ввода исходных данных расчет выполняется в такой последовательности. Определяются функции положения механизма, кинематические передаточные функции скоростей и ускорений. Далее – силы инерции и моменты сил инерции звеньев и реакции в кинематических парах механизма. Угловые координаты векторов сил определяются с использованием стандартной подпрограммы ATAN2.

Полный текст программы на языке Фортран приводится в при-

ложении 1. Результаты расчета (см. приложение 2) выводятся на печать в виде таблицы числовых значений текущего угла  $\varphi$  в градусах, модулей векторов сил – в ньютонах и их угловых координат – в градусах. Модули сил выводятся в первой строке, а во второй строке – соответствующие угловые координаты векторов сил относительно оси  $\chi_1$  (углы  $\varphi_2, \varphi_3, \varphi_{16}, \varphi_{36}$ ) или относительно оси  $\chi_2$  (углы  $\varphi_{43}, \varphi_{45}$ ); направление вектора  $F_{36}$  совпадает с положительным направлением оси  $\chi_2$ , если  $\lambda_{AS2} > 0$ .

По данным таблицы результатов расчета строят голографы сил  $F_{21}(\varphi_2), F_{32}(\varphi_3), F_{16}(\varphi_{16}), F_{36}(\varphi_{36}), F_{43}(\varphi_{43}), F_{45}(\varphi_{45})$  и график  $F_{36}(\varphi)$  желательно в том же масштабе, что и планы сил. Угловые координаты векторов  $\bar{F}_{21}, \bar{F}_{32}, \bar{F}_{16}, \bar{F}_{36}$  фиксируют от положительного направления оси  $\chi_1$ , векторов  $\bar{F}_{43}, \bar{F}_{45}$  – от положительного направления оси  $\chi_2$  в направлении вращения кривошипа. По виду голографов сил можно судить о характере изменения и нагрузки на звенья и подшипники, о наиболее нагруженных участках элементов кинематических пар, что необходимо для последующих расчетов деталей машин на прочность, жесткость, для расчета ожидаемого износа элементов кинематических пар и т.д.

### 3. МОДИФИКАЦИЯ РАСЧЕТА ШЕСТИЗВЕННОГО КУЛИСНОГО МЕХАНИЗМА НА ЭВМ ПО ПРОГРАММЕ РР 3207

Расчетная схема шестизвенного кулисного механизма дана на рис. 7а. Механизм состоит из кривошипа 1 – входного звена, к которому приложен движущий момент  $M_{1D}$ , кулисы 3, шатунов 2 и 4 (так называемых кулисных камней), ползуна 5 – выходного звена, к которому приложена сила сопротивления  $F_{5C}$ , и стойки 6. Схема дана в правой системе координат  $\chi_1 \gamma_0$ . Механизм работает в установившемся режиме, колебания угловой скорости  $\omega_1$  кривошипа 1 неизменны (коэффициент  $\delta$  неравномерности вращения кривошипа мал), поэтому  $\omega_1 \approx \omega_{1D} = const$ .

Исходные данные для силового расчета на ЭВМ: длина  $\ell_{AG}$  кривошипа 1, механическое расстояние  $\ell_{AC}$ , длина  $\ell_{CD}$  кулисы 3, расстояние  $\ell_{CS3}$  от оси  $C$  до центров масс  $S_3$  кулисы 3, массы  $m_1, m_3$  и  $m_5$  звеньев 1, 3 и 5 в килограммах, момент инерции  $I_{2S}$  кулисы 3 (массами звеньев 2 и 4 пренебрегают),  $\omega_1$  – среднее значение угловой скорости кривошипа. Сила сопротивления задана в виде массива сил, при этом знак силы должен соответствовать ее направлению по отношению к оси  $\gamma_0$ : сила положительна, если ее

направление совпадает с направлением оси  $\gamma$ , и отрицательна при ее направлении против оси  $\gamma$ . Если сила принимает только два именованных значения, как это имеет место, например, в поперечно-строительных станках /см. график  $(F_{5c}, S_5)$  на рис. 7б/, то можно выбрать последовательно два значения силы, при вспомогательном ходе и рабочем ходе, т.е.  $(F_{5c})_1$  и  $(F_{5c})_2$ , и угловые координаты кривошипа  $\varphi_{KCS}$  и  $\varphi_{KSC}$ , соответствующие началу и концу действия силы резания, составляющей вместе с силой трения значение  $(F_{5c})_2$ .

Задача силового расчета – определение за цикл движения механизма сил в кинематических парах в зависимости от обобщенной координаты  $\varphi$ , т.е.  $F_{16}(\varphi)$ ,  $F_{21}(\varphi)$ ,  $F_{32}(\varphi)$ ,  $F_{36}(\varphi)$ ,  $F_{34}(\varphi)$ , двенадцатой  $N = 3600/\Delta\varphi + 1 = 13$ .

Решение поставленной задачи требует предварительного находящегося кинематических параметров, а именно: ускорений  $a_{53}$  и  $a_{55}$  центров масс звеньев 3 и 5 и углового ускорения  $\dot{\varphi}_3$  кулисы 3. Для этого применяют метод замкнутых векторных контуров: кинематическую цепь  $(A-B-C-A)$ , состоящую из звеньев 1, 3 и стойки 6, представляют в виде векторного контура, состоящего из звеньев  $\ell_{AB}$ ,  $\ell_{AC}$  с постоянной длиной и вектора  $\ell_{CB}$  с переменной длиной.

Условие замкнутости этого векторного контура выражают уравнением  $\ell_{AB} = \ell_{AC} + \ell_{CB}$ .

Проектируя эти векторы на оси  $x$  и  $y$ , получают

$$\ell_{AB} \cos \varphi_1 = \ell_{AC} + \ell_{CB} \cos \varphi_3, \quad (19)$$

$$\ell_{AB} \sin \varphi_1 = \ell_{CB} \sin \varphi_3. \quad (20)$$

В этих уравнениях известны  $\ell_{AB}$ ,  $\ell_{AC}$  и угол  $\varphi_1$ , который задается в интервале  $[0, 2\pi]$ . Некоторыми являются длина  $\ell_{CB}$  и угол  $\varphi_3$ , который, согласно рис. 7а, лежит во II или III четверти. Текущее значение длины вектора  $\ell_{CB}$  определяют по теореме косинусов:  $\ell_{CB} = \sqrt{\ell_{AB}^2 + \ell_{AC}^2 - 2\ell_{AB}\ell_{AC} \cos \varphi_1}$ . Далее из уравнения (19) получают

$$\sin \varphi_3 = \ell_{AB} \sin \varphi_1 / \ell_{CB}$$

и, следовательно,

$$\varphi_3 = \pi - \arcsin (\ell_{AB} \sin \varphi_1 / \ell_{CB}).$$

Уравнения (19), (20) дифференцируют по  $\varphi_1$ :

$$-\ell_{AB} \sin \varphi_1 = -\ell_{CB} \sin \varphi_3 \frac{d\varphi_3}{d\varphi_1} + \frac{d\ell_{CB} \cos \varphi_3}{d\varphi_1}, \quad (21)$$

$$\ell_{AB} \cos \varphi_1 = \ell_{CB} \cos \varphi_3 \frac{d\varphi_3}{d\varphi_1} + \frac{d\ell_{CB} \sin \varphi_3}{d\varphi_1}. \quad (22)$$

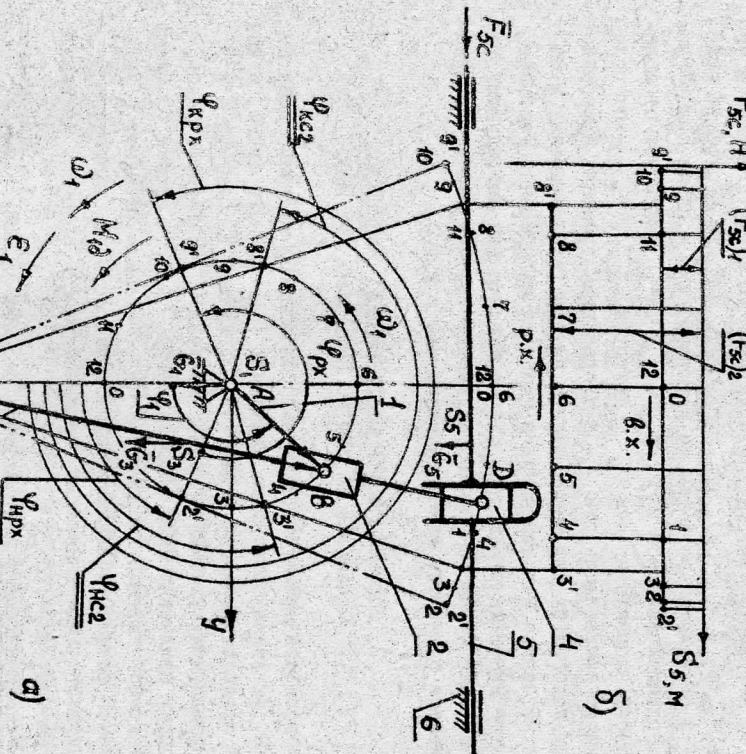


Рис. 7

В результате преобразования координат (условного поворота осей координат на угол  $\varphi_3$ ) получают

$$\ell_{AB} \sin(\varphi_1 - \varphi_3) = \ell_{CS} \sin(\varphi_1 - \varphi_3) \frac{d\varphi_3}{d\varphi_1} + \frac{d\ell_{CS}}{d\varphi_1} \cos(\varphi_1 - \varphi_3),$$

$\ell_{AB} \cos(\varphi_1 - \varphi_3) = \ell_{CS} \cos(\varphi_1 - \varphi_3) \frac{d\varphi_3}{d\varphi_1} + \frac{d\ell_{CS}}{d\varphi_1} \sin(\varphi_1 - \varphi_3)$ ,  
и далее после упрощений:

$$v_{\rho_{21}} = \frac{d\ell_{CS}}{d\varphi_1} = -\ell_{AB} \sin(\varphi_1 - \varphi_3),$$

$$\ell_{AB} \cos(\varphi_1 - \varphi_3) = \ell_{CS} \frac{d\varphi_3}{d\varphi_1},$$

откуда

$$\omega_{31} = \frac{\omega_3}{\omega_1} = \frac{d\varphi_3}{dt} = \frac{dt}{d\varphi_1} = \frac{\ell_{AB}}{\ell_{CS}} \cos(\varphi_1 - \varphi_3).$$

Чтобы найти угловое ускорение кулисы 3, дифференцируют уравнение (21) по  $\varphi_1$  и после преобразования координат и упрощений получают

$$-\ell_{AB} \sin(\varphi_1 - \varphi_3) = 2 \cdot \frac{d\ell_{CS}}{d\varphi_1} \cdot \frac{d\varphi_3}{d\varphi_1} + \ell_{CS} \frac{d^2\varphi_3}{d\varphi_1^2},$$

откуда аналог углового ускорения кулисы 3,

$$\varepsilon_{31} = \frac{d^2\varphi_3}{d\varphi_1^2} = \frac{d\omega_{31}}{d\varphi_1} = -(\ell_{AB} \sin(\varphi_1 - \varphi_3) + 2v_{\rho_{23}} \cdot \omega_{31})/\ell_{CS}.$$

Ускорение  $\varepsilon_3$  определяют из соотношения

$$\varepsilon_3 = \frac{d\omega_3}{d\varphi_1} = \omega_1 \frac{d\omega_{31}}{d\varphi_1} = \omega_1 \frac{d\omega_{31}}{dt} \cdot \frac{dt}{d\varphi_1} = \varepsilon_{31} \cdot \omega_1.$$

Чтобы найти проекции на оси  $x$  и  $y$  ускорения центра масс 3, записывают сначала функции его положения (координаты)

$$x_{33} = \ell_{CS3} \cos \varphi_3, \quad y_{33} = \ell_{CS3} \sin \varphi_3,$$

затем дифференцируют эти выражения и получают формулы для расчета проекций на оси  $x$  и  $y$  передаточной функции скорости центра масс

$$v_{\rho_{33}x} = \frac{v_{33x}}{\omega_1} = \frac{d\lambda_{33}}{dt} = \frac{dt}{d\varphi_1} = -\ell_{CS3} \cdot \omega_1 \cdot \sin \varphi_3, \quad (22)$$

$$v_{\rho_{33}y} = \frac{v_{33y}}{\omega_1} = \frac{d\lambda_{33}}{dt} = \frac{dt}{d\varphi_1} = \frac{d\lambda_{33}}{d\varphi_1} = \ell_{CS3} \cdot \omega_1 \cdot \cos \varphi_3. \quad (23)$$

Дифференцируя далее выражения (22) и (23) по  $\varphi_1$ , выводят формулы для расчета проекций на оси  $x$  и  $y$  аналога ускорения центра масс

$$a_{\rho_{33}x} = \frac{dv_{\rho_{33}x}}{d\varphi_1} = -\ell_{CS3} \cdot \omega_1^2 \cdot \cos \varphi_3 - \ell_{CS3} \cdot \sin \varphi_3 \cdot \varepsilon_{31},$$

$$a_{\rho_{33}y} = \frac{dv_{\rho_{33}y}}{d\varphi_1} = -\ell_{CS3} \cdot \omega_1^2 \cdot \sin \varphi_3 + \ell_{CS3} \cdot \cos \varphi_3 \cdot \varepsilon_{31}.$$

Проекции ускорения точки 3 получают из соотношений

$$a_{33x} = \frac{d\lambda_{33x}}{dt} = \frac{d}{dt} (\nu_{\rho_{33}x} \cdot \omega_1) = \omega_1 \frac{d\nu_{\rho_{33}x}}{dt} = \omega_1 \frac{d\nu_{\rho_{33}x}}{d\varphi_1} \cdot \frac{d\varphi_1}{dt} =$$

$$= a_{\rho_{33}x} \cdot \omega_1^2, \quad a_{33y} = \frac{d\lambda_{33y}}{dt} = \frac{d}{dt} (\nu_{\rho_{33}y} \cdot \omega_1) = a_{\rho_{33}y} \cdot \omega_1^2.$$

Аналогично находят ускорение  $a_{35}$  центра масс 5, полученного

$$y_5 = \ell_{CS} \sin \varphi_3$$

и далее

$$\delta_{35} = \frac{v_5}{\omega_1} = v_{\rho_{35}y} = \frac{\delta y}{\omega_1} = \frac{dy}{d\varphi_1} = \ell_{CS} \cdot \omega_1 \cdot \cos \varphi_3,$$

$$a_{35} = \frac{d\delta_{35}}{d\varphi_1} = -\ell_{CS} (\omega_1^2 \sin \varphi_3 - \varepsilon_{31} \cdot \cos \varphi_3),$$

$$a_{35} = \omega_5 = \frac{d\delta_5}{dt} = \frac{d}{dt} (\nu_{35} \cdot \omega_1) = a_{\rho_{35}y} \cdot \omega_1^2.$$

Главные векторы сил инерии определяют только для звеньев 3 и 5, так как центр масс 3, кривошипа совпадает с неподвижным шарниром A:

$$\mathcal{P}_{3x} = -m_3 a_{33x} = -m_3 \cdot a_{\rho_{33}x} \cdot \omega_1^2,$$

$$\mathcal{P}_{3y} = -m_3 a_{33y} = -m_3 \cdot a_{\rho_{33}y} \cdot \omega_1^2,$$

$$\mathcal{P}_5 = -m_5 a_{35} = -m_5 \cdot a_{\rho_{35}y} \cdot \omega_1^2,$$

(соответствующие идентификаторы:  $M_{D3X}$ ,  $F_{D3Y}$ ,  $F_{D5}$ ).

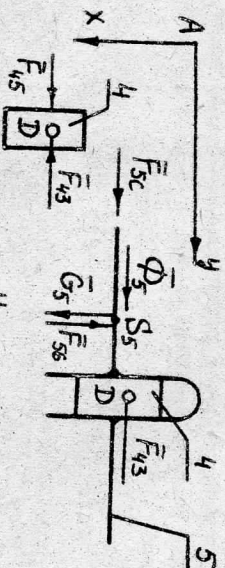
Главный момент сил инерии звена 3

$$M_{\rho_{33}} = -y_{35} \cdot \varepsilon_3 = -y_{35} \cdot \varepsilon_{31} \cdot \omega_1^2$$

(идентификатор  $M_{D3}$ ).

Известной внешней силой является сила сопротивления, приложенная к звену 5, поэтому силовой расчет начинают со структурной группы (статически определимой), состоящей из звеньев 5 и 4 (рис. 8а).

а



б

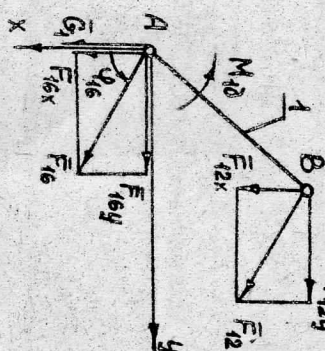
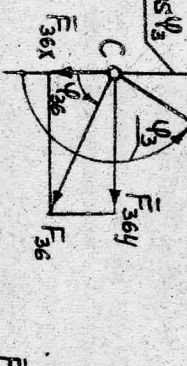
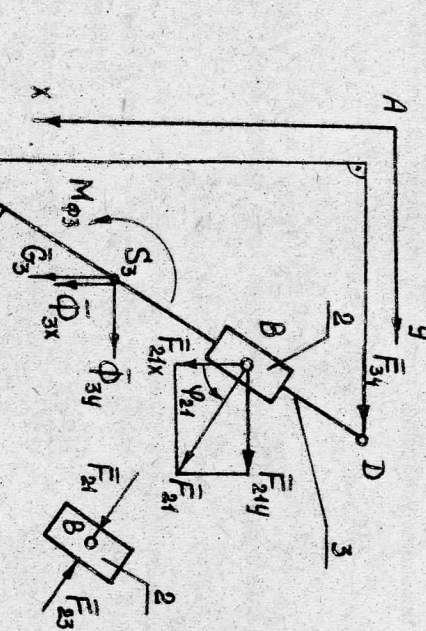


Рис. б

Сумма проекций сил на оси  $Ax$  и  $Ay$  для звеньев 5, 4:

$$F_{36} + G_5 = 0,$$

$$F_{43} + F_{5c} + g_3 = 0.$$

Следовательно,

$$f_{36} = -G_5, \quad f_{43} = -(f_{5c} + g_3).$$

Для звена 4

$$F_{45} = -F_{43} \text{ или } F_{45} = F_{34}.$$

Далее определяют силы в кинематических парах структурной группы звеньев 2, 3 (рис. 8б)  $F_{21}$  и  $F_{36}$ . Известны силы  $f_{34}$ ,  $\varphi_{3x}$ ,  $\varphi_{3y}$ ,  $G_3$ . Неизвестные составляющие сил направляют для вывода формул вдоль положительных направлений осей  $Ax$  и  $Ay$ ; момент  $M_{\varphi 3}$  направляют так же в положительную сторону (против часовой стрелки).

Сумма моментов сил относительно точки С для звеньев 2, 3:

$$-F_{21} \cdot e_{28} - F_{34} \cdot e_{28} \cdot \cos \varphi_3 - (G_3 + \varphi_{3x}) e_{233} \sin \varphi_3 - \varphi_{3y} e_{233} \cos \varphi_3 + M_{\varphi 3} = 0$$

Следовательно,

$$M(F_{21}) = F_{21} e_{28} = -F_{34} e_{28} \cos \varphi_3 - (G_3 + \varphi_{3x}) e_{233} \sin \varphi_3 - \varphi_{3y} e_{233} \cos \varphi_3 + M_{\varphi 3}$$

(идентификатор  $M(F_{21})$ ).

Числовое значение силы  $F_{21}$  определяют по формуле

$$F_{21} = |M(F_{21})|,$$

а угловую координату силы  $F_{21}$  — по формуле

$$\varphi_{21} = \varphi_3 - \frac{\varphi_{3y}}{2},$$

если сила  $F_{21}$  дает момент по часовой стрелке, т.е. когда  $M(F_{21}) > 0$ .

Составляющая силы  $F_{21}$ :

$$F_{21x} = F_{21} \cos \varphi_{21}, \quad F_{21y} = F_{21} \sin \varphi_{21}.$$

если сила  $F_{21}$  дает момент против часовой стрелки, т.е. когда  $M(F_{21}) < 0$ .

$$F_{36x} + F_{21x} + g_{3x} + G_3 = 0, \quad F_{36y} + F_{21y} + g_{3y} = 0.$$

Следовательно,

$$F_{36x} = -\bar{F}_{21x} - \bar{F}_{34} - \bar{G}_3, \quad F_{36y} = -\bar{F}_{34} - \bar{F}_{21y} - \bar{F}_{36}, \quad F_{36} = \sqrt{F_{36x}^2 + F_{36y}^2}$$

Далее находят силу  $\bar{F}_{16}$  в шарнире A. Известны силы  $\bar{G}_3$ ,

$$\bar{F}_{12x} = -\bar{F}_{21x}, \quad \bar{F}_{12y} = -\bar{F}_{21y}.$$

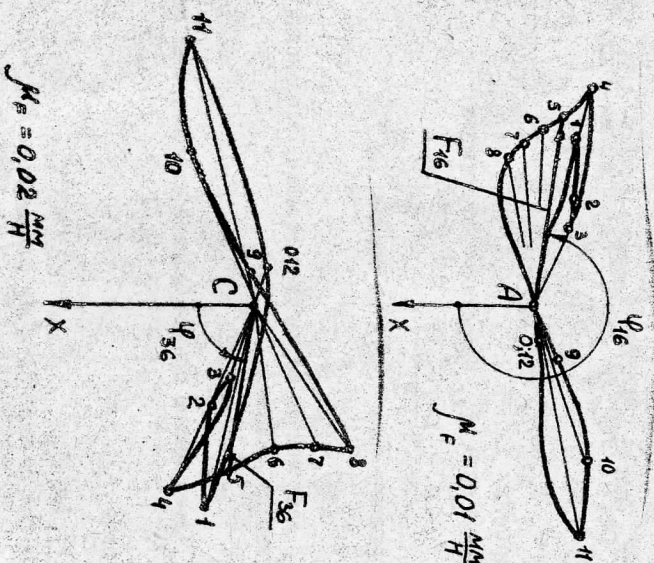
Сумма проекций сил, приложенных к звено 1 (рис. 8в), на оси  $Ax$  и  $Ay$ :

$$\bar{F}_{16x} + \bar{G}_3 + \bar{F}_{12x} = 0, \quad \bar{F}_{16y} + \bar{F}_{12y} = 0.$$

Следовательно,

$$\bar{F}_{16x} = -\bar{G}_3 + \bar{F}_{12x}, \quad \bar{F}_{16y} = -\bar{F}_{12y}, \quad \bar{F}_{16} = \sqrt{\bar{F}_{16x}^2 + \bar{F}_{16y}^2}.$$

Определение угловых координат  $\varphi_{16}$  и  $\varphi_{36}$  векторов сил  $\bar{F}_{16}$  и  $\bar{F}_{36}$  проводят с помощью подпрограммы-функции ATG( $S, C$ ) , описание которой дано в [3], или с помощью стандартной подпрограммы ATAN2 . Распечатка программы РР 3207 дана в приложении 3, результаты расчета в приложении 4. По результатам расчета строят голографы сил для шарниров A и C (рис. 9).



#### 4. СИЛОВОЙ РАСЧЕТ ЧЕТЫРЕХЗВЕННОГО МЕХАНИЗМА С КАЧАЮЩИМСЯ ГИДРОЦИЛИНДРОМ НА ЭВМ ПО ПРОГРАММЕ РР 3207

Расчетная схема четырехзвенного коромысло-кулисного механизма дана на рис. 10а. Механизм состоит из качающегося гидроцилиндра I, штока с поршнем 2, поворотной платформы 3 и стойки 4. Сила  $F_2$ , создаваемая давлением масла в гидроцилиндре и приложенная к звено 2, вызывает относительное перемещение звеньев 2 и 1 и требуемый поворот коромысла 3 с угловой скоростью  $\omega_3$ , а также совместный поворот звеньев 2 и 1 с угловой скоростью  $\omega_2 = \omega_1$ . Схема (рис. 10) дана в правой системе координат  $x-y$ : ось  $x$  направлена от оси С вращения коромысла 3 к оси поворота цилиндра I, а направление оси  $y$  соответствует вращению против часовой стрелки звена 3, принятого за начальное. Поэтому все угловые координаты обозначены от оси  $x$  в направлении против часовой стрелки.

##### Исходные данные для силового расчета: межосевое расстояние

$\ell_{cA}$ , длина коромысла  $\ell_{cB}$ , начальная угловая координата  $\varphi_{3H}$  звена 3, угловая координата  $\varphi_{3K}$  звена 3 в конце поворота, угловая координата  $\varphi$  центра массы  $S_3$  звена 3, расстояние  $\ell_{c33}$  от оси С до центра массы  $S_3$ , расстояние  $\ell_{B12}$  от центра массы  $S_1$  до оси центра массы  $S_2$ , расстояние  $\ell_{35A}$  от центра массы  $S_1$  до оси A, угловая координата  $\varphi$  сил тяжести  $G_1$ ,  $G_2$  и  $G_3$ , моменты инерции  $J_{35}$  и  $J_{23}$ ,  $J_{35}$  звеньев 1, 2 и 3 относительно их центров масс  $S_1$ ,  $S_2$  и  $S_3$ , массы  $m_1$ ,  $m_2$  и  $m_3$  звеньев 1, 2 и 3, массив значений угловых скоростей  $\omega_3$  звена 3 за время поворота, массив значений угловых ускорений  $\varepsilon_3$  звена 3, число  $N$  позиций механизма. При шаге 4  $\varphi_3$  число  $N$  определяют по формуле  $N = (\varphi_{3k} - \varphi_{3H})/\Delta\varphi_3 + 1$ , где  $\varphi_{3k} - \varphi_{3H} = (\varphi_3^*)_{max}$  – максимальный угол поворота коромысла 3.

Задача силового расчета – определение сил в кинематических парах в зависимости от угла поворота  $\varphi_3^* = \varphi_3 - \varphi_{3H}$  (идентификатор  $F13G$ ):  $\bar{F}_{14}$  – в шарнире A со стороны стойки 4 на звено 1,  $\bar{F}_{34}$  – в шарнире C,  $\bar{F}_{32}$  – в шарнире B (идентификаторы модулей векторов сил и угловых координат:  $F14$  и  $F14G$ ,  $F34$  и  $F34G$ ,  $F32$  и  $F32G$ ). Находят также силу  $F_2$ , приводящую в движение механизм.

$$M_e = 0,02 \frac{m^2}{H^2}$$

Рис. 9

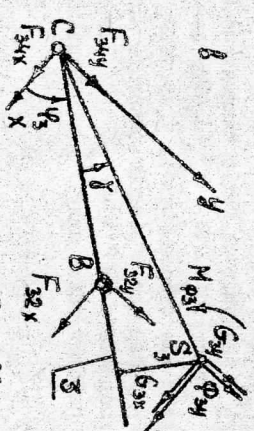
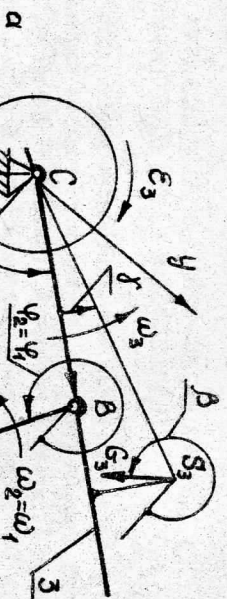


Рис. 10

Решение задачи требует предварительного кинематического исследования с целью определения ускорений  $a_{S1}$ ,  $a_{S2}$ ,  $a_{S3}$  центров масс  $S_1$ ,  $S_2$  и  $S_3$  звеньев 1, 2 и 3 и угловых ускорений  $\varepsilon_1 = \varepsilon_2$  звеньев 1 и 2 (угловое ускорение  $\varepsilon_3$  начального звена задается). Для этого применяют метод замкнутых векторных контуров. Условие замкнутости векторного контура, составленного из звеньев механизма, выражают векторным уравнением  $\bar{e}_{C4} + \bar{e}_{B4} = -\bar{e}_{A4}$  и проектируют его на оси  $x$  и  $y$ :

$$e_{C4} \cos \varphi_3 + e_{B4} \cos \varphi_2 = e_{A4}, \quad e_{C4} \sin \varphi_3 + e_{B4} \sin \varphi_2 = 0,$$

Эти уравнения дифференцируют по обобщенной координате  $\varphi_3$ :

$$-e_{C4} \sin \varphi_3 + \frac{de_{B4}}{d\varphi_3} \cos \varphi_3 - e_{B4} \sin \varphi_2 \frac{de_{A4}}{d\varphi_3} = 0, \quad (24)$$

где

$$\frac{de_{B4}}{d\varphi_3} = \frac{dt}{dt} \cdot \frac{d\varphi_2}{d\varphi_3} = \omega_3 = \omega_{23},$$

передающее отношение угловых скоростей звеньев 2 и 3.

В результате преобразования координат (условного поворота осей координат на угол  $\varphi_2$ ) получают

$$-e_{C4} \sin(\varphi_3 - \varphi_2) + \frac{de_{B4}}{d\varphi_3} \cos(\varphi_2 - \varphi_3) - e_{B4} \sin(\varphi_2 - \varphi_3) \cdot \omega_{23} = 0,$$

$$e_{C4} \cos(\varphi_3 - \varphi_2) + \frac{de_{B4}}{d\varphi_3} \sin(\varphi_2 - \varphi_3) + e_{B4} \cos(\varphi_2 - \varphi_3) \cdot \omega_{23} = 0$$

и далее после упрощения

$$-e_{C4} \sin(\varphi_3 - \varphi_2) + \frac{de_{B4}}{d\varphi_3} = 0, \quad (25)$$

$$e_{C4} \cos(\varphi_3 - \varphi_2) + e_{B4} \cdot \omega_{23} = 0, \quad (26)$$

где

$$\frac{de_{B4}}{d\varphi_3} = \frac{de_{B4}}{dt} \cdot \frac{dt}{d\varphi_3} = \dot{\varphi}_{21} = \dot{\varphi}_{23},$$

передаточная функция относительной скорости звеньев 2 и 1 (аналог относительной скорости). Из уравнений (25), (26) следует, что

$$\dot{\varphi}_{21} = e_{C4} \sin(\varphi_3 - \varphi_2),$$

$$\omega_{23} = -\frac{e_{C4}}{e_{B4}} \cos(\varphi_3 - \varphi_2).$$

Функции положения центров масс  $S_1$ ,  $S_2$  и  $S_3$  определяют их координаты

$$\begin{aligned} \alpha_{\rho_{33}x} &= -\ell_{c8} \sin \varphi_3 + \epsilon_{p2} \ell_{832} \cos \varphi_2 - \ell_{832} \sin \varphi_2 \cdot \alpha_{23}^2, \\ \alpha_{\rho_{33}y} &= -\ell_{c33} \cos (\varphi_3 + \delta), \quad \alpha_{\rho_{33}y} = -\ell_{c33} \sin (\varphi_3 + \delta). \end{aligned}$$

$$x_{S1} = \ell_{ca} - \ell_{S1A} \cos \varphi_2, \quad y_{S1} = -\ell_{S1A} \sin \varphi_2;$$

$$x_{S2} = \ell_{ca} \cos \varphi_3 + \ell_{832} \cos \varphi_2, \quad y_{S2} = \ell_{ca} \sin \varphi_3 + \ell_{832} \sin \varphi_2;$$

$$x_{S3} = \ell_{c33} \cos (\varphi_3 + \delta), \quad y_{S3} = \ell_{c33} \sin (\varphi_3 + \delta).$$

Проекции передаточных функций скоростей центров масс на оси  $x$  и  $y$  находят дифференцированием функций положения по  $\varphi_3$ :

$$\dot{x}_{S1x} = \frac{\dot{v}_{S1x}}{\omega_3} = \frac{dX_{S1}}{dt} = \frac{dX_{S1}}{d\varphi_3} = \alpha_{23} \ell_{S1A} \cos \varphi_2, \quad (27)$$

$$\dot{x}_{S2x} = \frac{\dot{v}_{S2x}}{\omega_3} = \frac{dy_{S2}}{dt} = \frac{dy_{S2}}{d\varphi_3} = \frac{dy_{S2}}{d\varphi_3} = -\alpha_{23} \ell_{S1A} \cos \varphi_2, \quad (28)$$

$$\dot{x}_{S3x} = \frac{dx_{S3x}}{d\varphi_3} = -\ell_{c8} \cos \varphi_3 - \alpha_{23} \ell_{832} \sin \varphi_2, \quad (29)$$

$$\dot{y}_{S2y} = \frac{dy_{S2y}}{d\varphi_3} = \ell_{ca} \cos \varphi_3 + \alpha_{23} \ell_{832} \cos \varphi_2, \quad (30)$$

$$\dot{y}_{S3x} = \frac{dY_{S3x}}{d\varphi_3} = -\ell_{c33} \sin (\varphi_3 + \delta); \quad \dot{y}_{S3y} = \frac{dY_{S3y}}{d\varphi_3} = \ell_{c33} \cos (\varphi_3 + \delta). \quad (31)$$

Первогочную функцию углового ускорения  $\epsilon_{p1} = \epsilon_{p2} = \frac{d^2\varphi}{dt^2} = \frac{d\dot{\varphi}_2}{d\varphi_3}$  получают в результате дифференцирования уравнения (24) и применения метода преобразования координат. После упрощений

$$-\ell_{ca} \sin (\varphi_3 - \varphi_2) + 2 \cdot \dot{\varphi}_{21} \cdot \alpha_{23} + \epsilon_{p1} \cdot \epsilon_{p2} = 0,$$

откуда

$$\dot{\epsilon}_{p2} = (\ell_{ca} \sin (\varphi_3 - \varphi_2) - 2 \cdot \dot{\varphi}_{21} \cdot \alpha_{23}) / \ell_{ca}.$$

Проекции передаточных функций ускорений (аналогов ускорений) центров масс  $S_1$ ,  $S_2$  и  $S_3$ , на оси  $x$  и  $y$  находят дифференцированием проекций передаточных функций скоростей, т.е. уравнений (27) – (31):

$$\begin{aligned} \alpha_{\rho_{33}x} &= \ell_{S1A} \cdot \epsilon_{p2} \cdot \sin \varphi_2 + \ell_{S1A} \cdot \cos \varphi_2 \cdot \alpha_{23}^2, \\ \alpha_{\rho_{33}y} &= -\ell_{S1A} \cdot \epsilon_{p2} \cdot \cos \varphi_2 + \ell_{S1A} \cdot \sin \varphi_2 \cdot \alpha_{23}^2, \\ \alpha_{\rho_{32}x} &= -\ell_{ca} \cdot \cos \varphi_3 - \ell_{832} \sin \varphi_2 - \ell_{832} \cos \varphi_2 \cdot \alpha_{23}^2, \\ \alpha_{\rho_{32}y} &= -(\ell_{ca} \cdot \ell_{c8} \cos \varphi_3 - \ell_{c33} \sin (\varphi_3 + \delta) - (\ell_{ca} \cdot \ell_{c8} \sin \varphi_3 + \ell_{832} \sin \varphi_2) - (\ell_{ca} \cdot \ell_{c8} \cos \varphi_3 - \ell_{c33} \sin (\varphi_3 + \delta) - (\ell_{ca} \cdot \ell_{c8} \sin \varphi_3 + \ell_{832} \sin \varphi_2)) / \ell_{ca}. \end{aligned}$$

Составляющую  $F_{34x}$  силы  $F_{34}$  в шарнире  $C$  находят из уравнения моментов для всех трех звеньев относительно шарнира  $A$  (см. рис. 10б)

$$\begin{aligned} F_{34y} &= (M_{\rho_{31}} - (G_{1x} + G_{1y}) \ell_{S1A} \sin \varphi_2 - (G_{1y} + G_{1y}) \ell_{S1A} \cos \varphi_2 + M_{\rho_{22}} - (G_{2x} + G_{2y}) \ell_{ca} \sin \varphi_3 + \ell_{832} \sin \varphi_2) - (G_{2y} + G_{2y}) (\ell_{ca} - \ell_{c8} \cos \varphi_3 - \ell_{832} \cos \varphi_2) + M_{\rho_{33}} - (G_{3x} + G_{3y}) \ell_{c33} \sin (\varphi_3 + \delta) - (G_{3y} + G_{3y}) (\ell_{ca} - \ell_{c33} \sin (\varphi_3 + \delta)) / \ell_{ca}. \end{aligned}$$

Составляющую  $F_{34x}$  силы  $F_{34}$  в ширине  $C$  определят из уравнения моментов для звена 3 относительно шарнира  $B$  (см. рис. 10б)

$$\begin{aligned} F_{34x} &= (F_{34y} \cdot \ell_{ca} \cos \varphi_3 - M_{\rho_{33}} + (G_{3x} + G_{3y}) \ell_{c33} \sin (\varphi_3 + \delta) - \ell_{ca} \cos \varphi_3) / (\ell_{ca} \cdot \sin \varphi_3) - (G_{3y} + G_{3y}) (\ell_{c33} \cdot \cos (\varphi_3 + \delta) - \ell_{ca} \cos \varphi_3) / (\ell_{ca} \cdot \sin \varphi_3). \end{aligned}$$

Модуль вектора силы  $F_{34}$  и его угловая координата  $\varphi_{34}$ :

$$F_{34} = \sqrt{F_{34x}^2 + F_{34y}^2}, \quad \varphi_{34} = \arctg(F_{34y}/F_{34x}).$$

Силу  $F_{32}$  в парнире 2 находят из уравнений проекций сил на оси  $x$  и  $y$  (см. рис. 10в)

$$F_{32x} + F_{34x} + G_{3x} + \varrho_2 = 0,$$

$$F_{32y} + F_{34y} + G_{3y} + \varrho_2 = 0,$$

откуда

$$F_{32x} = -F_{34x} - G_{3x} - \varrho_2,$$

$$F_{32y} = -F_{34y} - G_{3y} - \varrho_2;$$

$$F_{32} = \sqrt{F_{32x}^2 + F_{32y}^2},$$

Силу  $F_{32}$  в парнире 2 определяют из уравнений проекций сил для звеньев 1, 2 и 3 (см. рис. 10б)

$$F_{44x} = -G_{4x} - \varrho_1 - G_{2x} - \varrho_2 - G_{3x} - \varrho_3 - F_{34x},$$

$$F_{44y} = -G_{4y} - \varrho_4 - G_{2y} - \varrho_2 - G_{3y} - \varrho_3 - F_{34y},$$

$$F_{44} = \sqrt{F_{44x}^2 + F_{44y}^2}, \quad \varphi_{44} = \arctg(F_{44y}/F_{44x}).$$

Силу  $F_2$  находят из уравнений проекций всех сил, приложенных к звену 2, на направление оси штока 2 (см. рис. 10г)

$$F_2 = (G_{2x} - \varrho_2 - F_{32x}) \cos \varphi_2 - (G_{2y} + \varrho_2 + F_{32y}) \sin(\varphi_2 + \frac{\pi}{2}).$$

Распечатка программы дана в приложении 5, распечатка результатов расчета — в приложении 6.

### Б. УДОЙОВЫЙ РАСЧЕТ РЫЧАЖНЫХ МЕХАНИЗМОВ С ИСПОЛЬЗОВАНИЕМ ОБОБЩЕННОГО МЕТОДА ПРЕОБРАЗОВАНИЯ ПООРИДИНАТ (ОМП)

Аналитические методы получили в последнее время наибольшее распространение в связи с широким внедрением ЭВМ в инженерную практику и учебный процесс. Одним из интересных универсальных методов кинематического и силового исследования механизмов является обобщенный метод преобразования координат.

Достоинства ОМП заключаются в том, что с его помощью можно проводить кинематическое исследование и определять силы в кинематических парах рычажных механизмов по общим аналитическим зависимостям с использованием ЭВМ. В учебном пособии [4] излагаются основы обобщенного метода преобразования координат для кинематического исследования плоских рычажных механизмов, но не затрагиваются вопросы силового исследования. В данном разделе рассматриваются особенности использования ОМП при силовом исследовании рычажных механизмов.

Сущность метода, изложенная в [4], сохраняется, т.е. группы Астура второго класса в общем виде представлены как две жесткие тела произвольной конфигурации (звенья 1 и 2 на рис. II), образующих в точке касания высшую кинематическую пару.

Сущность метода, изложенная в [4], сохраняется, т.е. групп-

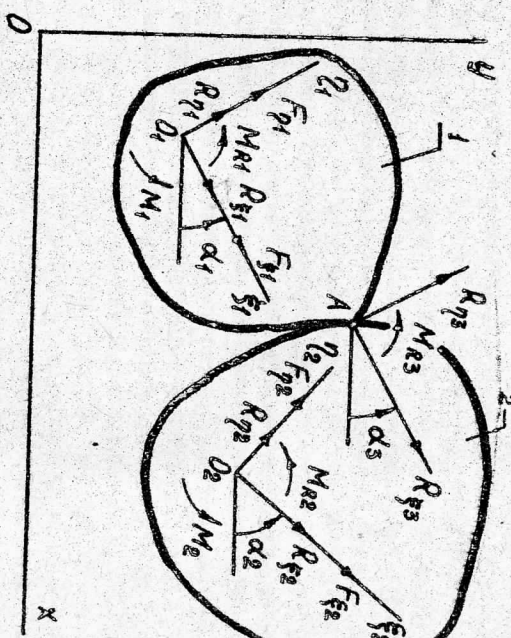


Рис. II

С каждым телом связаны подвижные оси координат  $X_1O_1Y_1$  и  $X_2O_2Y_2$ . Начало неподвижных осей координат  $XOY$  можно выбирать произвольно, но удобней всего связывать начало неподвижных координат с центром вращения начального звена. Ось  $OY$  всегда необходимо располагать горизонтально, а ось  $OX$  — вертикально вверх, так как в подпрограмме приведения сил инерции и тяжести звеньев предусмотрено, что проекция вектора силы тяжести звена на ось  $OX$  равна нулю, а на ось  $OY$  — отрицательна.

Известно, что различные виды кинематических пар имеют различное представление реакции. Так, вращательная пара лежит для

неизвестных в виде проекций полной реакции на координатные оси, поступательная пара (без учета трения) — реакцию, направленную перпендикулярно направляющей, и реактивный момент, вышагающей пары — нормальную реакцию. Ось вращения кулочка или кронштейна является неизвестными составляющими реакции и реактивного момента, которых в теории механизмов принято называть уравновешивающим моментом и т.д. Для вывода общих уравнений принято (см. рис. II), что в каждой кинематической паре существует три неизвестных реакции (две взаимно перпендикулярные составляющие, составляющие полной реакции  $R_{f_1}$  и  $R_{f_2}$  и реактивный момент  $M_{R_1}$ ). Во внешних кинематических парах  $R_{f_1}$  и  $R_{f_2}$  являются проекциями полной реакции на полважные оси координат.

В внутренней кинематической паре (КП) угол  $\alpha_3 = \alpha_f$ , если внутренняя КП низшая. Для высших КП угол  $\alpha_3$  равен углу наклона нормали и вычисляется через проекции относительной скорости.

В каждом конкретном случае в зависимости от вида кинематической пары некоторые составляющие будут равны нулю: для вращательной пары  $M_{R_1} = 0$ , для поступательной пары  $R_{f_1} = 0$ , для высшей пары  $R_{f_2} = 0$  и  $M_{R_1} = 0$ . Для получения наиболее общих зависимостей все внешние силы, действующие на каждое звено, приводят к началу подвижных осей координат. На рис. II главный вектор и главный момент внешних сил представлены в виде проекций  $F_{f_1}$ ,  $F_{f_2}$  и  $M_1$ . Такое представление реакций и внешних сил дает возможность получить систему уравнений в наиболее общем виде.

Уравнение равновесия каждого тела в отдельности:

для тела 1

$$\begin{aligned} R_{f_1} + R_{f_3} \cos \alpha_3 - R_{f_2} \sin \alpha_3 + F_{f_1} &= 0, \\ R_{f_1} + R_{f_3} \sin \alpha_3 + R_{f_2} \cos \alpha_3 + F_{f_2} &= 0; \\ R_{f_3} (\dot{x}_1 \sin \alpha_3 - \dot{z}_1 \cos \alpha_3) + & \\ + R_{f_3} (\dot{z}_1 \cos \alpha_3, \dot{x}_1 + R_{f_2} \sin \alpha_3) + M_{R_1} + M_{R_3} + M_1 &= 0; \end{aligned} \quad (32)$$

для тела 2

$$\begin{aligned} R_{f_2} - R_{f_3} \cos \alpha_3 + R_{f_2} \sin \alpha_3 + F_{f_2} &= 0; \\ R_{f_2} - R_{f_3} \sin \alpha_3 - R_{f_2} \cos \alpha_3 + F_{f_2} &= 0; \\ - R_{f_3} (\dot{x}_2 \sin \alpha_3 - \dot{z}_2 \cos \alpha_3) + & \\ + R_{f_3} (\dot{z}_2 \cos \alpha_3, \dot{x}_2 + R_{f_2} \sin \alpha_3) + M_{R_2} + M_2 &= 0, \end{aligned} \quad (32a)$$

где  $\alpha_3 = \alpha_3 - \alpha_f$ ;  $\alpha_3 = \alpha_3 - \alpha_2$ ;  $\dot{x}_1, \dot{z}_1, \dot{x}_2, \dot{z}_2$  — координаты точки A в системе  $\dot{x}_1, \dot{z}_1, \dot{x}_2, \dot{z}_2$ ;  $\dot{x}_2, \dot{z}_2$  — координаты точки

B полученной системе из шести линейных алгебраических уравнений девять неизвестных:  $R_{f_1}, R_{f_2}, M_{R_1}, R_{f_2}, R_{f_3}, M_{R_3}$ . В каждой конкретной группе Ассура три неизвестных равны нулю, поэтому любая группа Ассура может быть решена, так как полученная система шести уравнений имеет шесть неизвестных.

Система уравнений (32), (32a) может быть представлена в виде матрицы (см. табл. I) коэффициентов при неизвестных этой системы. В первой строке записаны неизвестные системы, а во второй — их номера по порядку. Под каждой неизвестной — столбец из

шести коэффициентов, стоящих перед этой неизвестной в системе уравнений (32), (32a). Свободные члены системы уравнений  $F(6) = F_{f_1}, F_{f_2}, M_1, F_{f_2}, F_{f_2}, M_2$  образуют вектор-столбец. Алгоритм решения системы уравнений (32), (32a) на ЭВМ заключается в том, что из матрицы в зависимости от вида кинематических пар, входящих в группу Ассура, выбирается шесть столбцов и формируется матрица  $Cm$  (6, 6). После этого осуществляется обращение к программе решения системы линейных алгебраических уравнений из пакета стационарных программ.

Примедение сил тяжести и сил инерции звеньев. Для того,

чтобы воспользоваться системой (32), (32a), необходимо привести все силы, приложенные к звену, к началу подвижных осей координат, к числу активных и расчетных сил, рассматриваемых в данной версии системы автоматизированных расчетов цикловых механизмов (САРЧ), отнесены силы тяжести звеньев, силы инерции, реакции последующей группы на предыдущую, упругие силы пружин, силы со-противления.

Для приложения сил тяжести и сил инерции с целью получения общих зависимостей представляют звено в виде тела произвольной формы, совершающего плоскопараллельное движение. В процессе ввода исходных данных необходимо ввести в память ЭВМ для каждого звена его массу  $m_i$ , момент инерции  $J_{ci}$  относительно оси, проходящей через центр массы, и координаты центров масс  $\dot{x}_{ci}$  и  $\dot{z}_{ci}$ . К моменту начала силового расчета уже произведен кинематический расчет механизма и определены ускорения всех звеньев и характерных точек механизма в проекциях на оси координат.

Таблица I

$R_{31}$	$R_{21}$	$M_{R1}$	$R_{32}$	$R_{22}$	$M_{R2}$	$R_{33}$	$R_{23}$
1	0	0	0	0	0	$\cos \alpha_{31}$	$-\sin \alpha_{31}$
0	1	0	0	0	0	$\sin \alpha_{31}$	$\cos \alpha_{31}$
0	0	1	0	0	0	$\xi_1 \sin \alpha_{31} - \xi_2 \cos \alpha_{31}$	$\xi_1 \cos \alpha_{31} + \xi_2 \sin \alpha_{31}$
0	0	0	1	0	0	$-\cos \alpha_{32}$	$\sin \alpha_{32}$
0	0	0	0	1	0	$-\sin \alpha_{32}$	$-\cos \alpha_{32}$
0	0	0	0	0	1	$\xi_2 \sin \alpha_{32} + \xi_3 \cos \alpha_{32}$	$-\xi_2 \cos \alpha_{32} - \xi_3 \sin \alpha_{32} - 1$

После этого находят проекции главных векторов сил инерции и главные моменты сил инерции звеньев (рис. 12):

$$\varphi_{six} = -m_i \alpha_{six}; \quad \varphi_{sy} = -m_i \alpha_{sy}; \quad M_{posi} = -y_{si} \cdot \varepsilon_i.$$

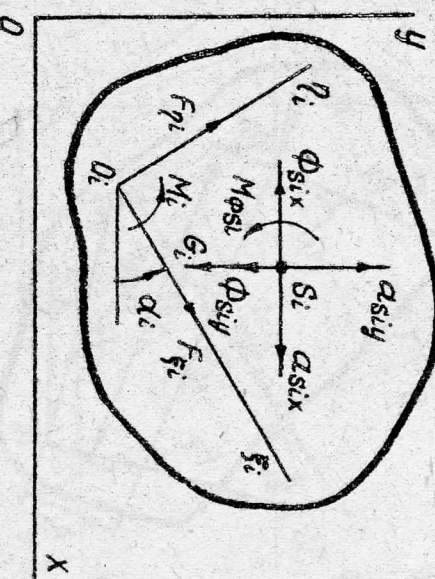


Рис. 12

Приведение сил тяжести звеньев и сил инерции выполняется переносом сил в начало поливных осей с добавлением присоединенной пары. Проецируя все силы на оси  $O_x$ ,  $O_y$  и  $O_z$  и беря сумму моментов всех сил относительно  $O_z$ , получаем

$$F_{xi} = \varphi_{six} \cdot \cos \alpha_i + (\varphi_{sy} - \varepsilon_i) \sin \alpha_i,$$

$$F_{yi} = -\varphi_{six} \cdot \sin \alpha_i + (\varphi_{sy} - \varepsilon_i) \cos \alpha_i;$$

$$M_i = -\dot{\varepsilon}_i (x_{si} - x_{oi}) - \varphi_{six} (y_{si} - y_{oi}) +$$

$$+ \varphi_{sy} (x_{si} - x_{oi}) - y_{si} \cdot \varepsilon_i.$$

При ведении расчетов группы Ассура, входящей в механизм, при силовом расчете группы Ассура, входящей в механизм, реакция кинематической пары отброшеннной группы Ассура известна и

считается внешней силой. Ее также необходимо привести к началу подвижной системы координат. На рис. 13 изображено обобщенное звено механизма, к которому в точке  $O_{i+2}$  присоединено звено по-следующей группы Ассура (присоединение групп Ассура ведется от входного звена механизма).

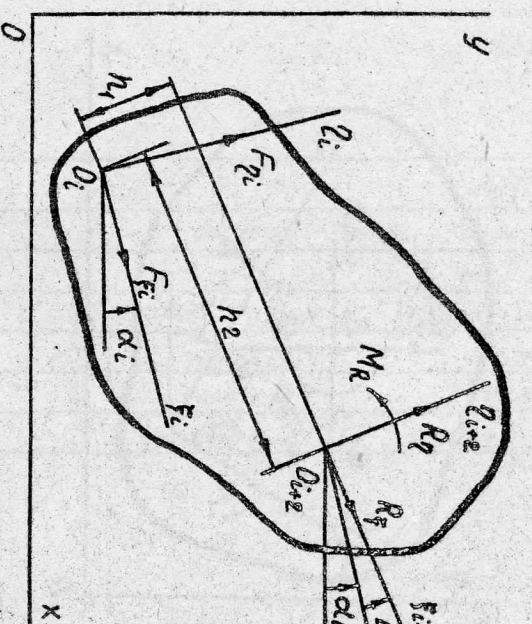


Рис. 13

В точке  $O_{i+2}$  расположены полный набор реакций ( $R_{F(i+2)}$ ,  $R_{P(i+2)}$ ,  $M_{R(i+2)}$ ), которые необходимо привести к началу подвижных осей координат  $\xi_i$ ,  $O_i$ ,  $O_{i+2}$ . По координатам точек  $O_i$  и  $O_{i+2}$ , определенным в кинематическом расчете, можно вычислить плечи реакций  $R_{F(i+2)}$  и  $R_{P(i+2)}$ :

$$h_1 = (y_{O(i+2)} - y_{O_i}) \cos \alpha_{i+2} - (x_{O(i+2)} - x_{O_i}) \sin \alpha_{i+2} \quad (33)$$

$$h_2 = (y_{O(i+2)} - y_{O_i}) \sin \alpha_{i+2} + (x_{O(i+2)} - x_{O_i}) \cos \alpha_{i+2}.$$

Введя обозначение  $\Delta \alpha = \alpha_{i+2} - \alpha_i$  и учитывая выражения (33), получим формулы для приведения реакции из точки  $O_{i+2}$  в точку  $O_i$

$$\begin{aligned} F_i &= R_{F(i+2)} \cos \Delta \alpha - R_{P(i+2)} \sin \Delta \alpha; \\ F_i &= R_{F(i+2)} \sin \Delta \alpha + R_{P(i+2)} \cos \Delta \alpha; \\ M_i &= -R_{F(i+2)} \cdot h_1 + R_{P(i+2)} \cdot h_2 + M_{R(i+2)}. \end{aligned} \quad (34)$$

Определение реакций на кривошиле. Чтобы найти реакции в кинематических парах всех групп Ассура для механизма с числом степеней свободы  $W = 1$ , необходимо определить реакции начального звена. Как правило, начальное звено механизма — кривошил. На рис. 14 изображен кривошил с приложенными к нему силами.

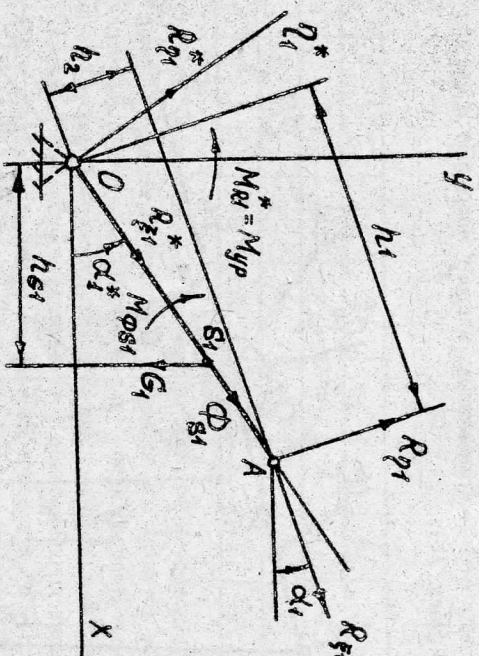


Рис. 14

В их число входят сила тяжести кривошила, главный вектор  $\varphi_{S1}$  и главный момент  $M_{PS1}$  сил инерии, реакция отброшенной группы Ассура  $R_{F1}$  и  $R_{P1}$ . Неизвестными реакциями в шарнире  $O$  являются  $R_{F1}^*$ ,  $R_{P1}^*$ ,  $M_{PS1}^*$ .  $R_{F1}^*$  и  $R_{P1}^*$  определяются как реактивный  $F_1'$  равновесивающий момент  $M_{PS1}$ , определяется как реактивный момент в шарнире  $O$  и входит в число неизвестных реакций. Вводят следующие обозначения:

$$\Delta \alpha = \alpha_i^* - \alpha_i; \quad h_1 = l_{OA} \cos \alpha_i; \quad (35)$$

$$h_2 = l_{AB} \sin \alpha_i; \quad h_{31} = l_{OB} \cos \alpha_i^*.$$

Из уравнения равновесия кривошила получают реакции

$$\begin{cases} R_{F1}^* = R_{F1} \cos \Delta \alpha + R_{P1} \sin \Delta \alpha + q_{S1} + G_1 \sin \alpha_i^*; \\ R_{P1}^* = -R_{F1} \sin \Delta \alpha + R_{P1} \cos \Delta \alpha - G_1 \cos \alpha_i^*; \\ M_{PS1} = -R_{F1} \cdot h_2 + R_{P1} \cdot h_1 - G_1 h_{31} + M_{PS1}. \end{cases} \quad (36)$$

Изложенная методика, описанная в пособии [4], реализована в разделе кинетостатики систем автоматизированных расчетов ЦИНКовых механизмов (САРДМ).

Ниже, дана последовательность подготовки данных и некоторые результаты силового расчета в САРДМ для механизма, рассмотренного ранее (см. рис. 5). Учитывая правила, изложенные в [4], составляют матрицу строения механизма, матрицу координат и матрицу соединений (рис. 15).

Таблица 3

$x_{01}$	$y_{01}$	$\xi_1$	$r_1$	$\alpha_1$	$x_{02}$	$y_{02}$	$\xi_2$	$r_2$	$\alpha_2$
$\chi_{03}$	$y_{03}$	$\xi_3$	$r_3$	$\alpha_3$	$x_{04}$	$y_{04}$	$\xi_4$	$r_4$	$\alpha_4$
$a + e$	0	$\xi_3$	0	90°			$\xi_4$	0	$\alpha_4$

Табл. 3 заполнена параметрами, которые являются как исходные данные, параметры, заключенные в рамках, являются исключениями, но являются начальными приближениями, чтобы получить одно определенное решение. Незаполненные клетки предназначены для параметров, которые находятся в результате вспомогательных вычислений с помощью систем координат, отмеченных символами " $*$ ". Информация о них хранится в матрице соединений  $C$ , представленной в виде табл. 4. Эта таблица заполнена элементами, необходимыми для вычисления координат  $(x_{01}, y_{01})$  и  $(x_{04}, y_{04})$ .

Таблица 4

$x_{01}^*$	$y_{01}^*$	$\xi_1^*$	$r_1^*$	$\alpha_1^*$	$x_{02}^*$	$y_{02}^*$	$\xi_2^*$	$r_2^*$	$\alpha_2^*$
0	0	$\xi_{AB}$	0	$\varphi$					

Согласно бандку данных (каталогу) базовых звеньев, содержащихся в [4], звенья данного механизма имеют номера, указанные на рис. 15. Эти номера составляют матрицу строения механизма  $M_S(2,4)$ , которая имеет вид табл. 2.

Таблица 2

I	IC	II	26
27	12	10	20

Чтобы задать геометрические параметры, со стойкой связывают неподвижную систему координат  $-xOy$ , а со звеньями механизма - подвижные системы координат. Начало неподвижной системы координат удобно совместить с осью кривошипа, подвижные системы координат располагают согласно рисункам каталога [4].

Геометрические параметры схемы составят матрицу координат  $S$  механизма (см. табл. 3).

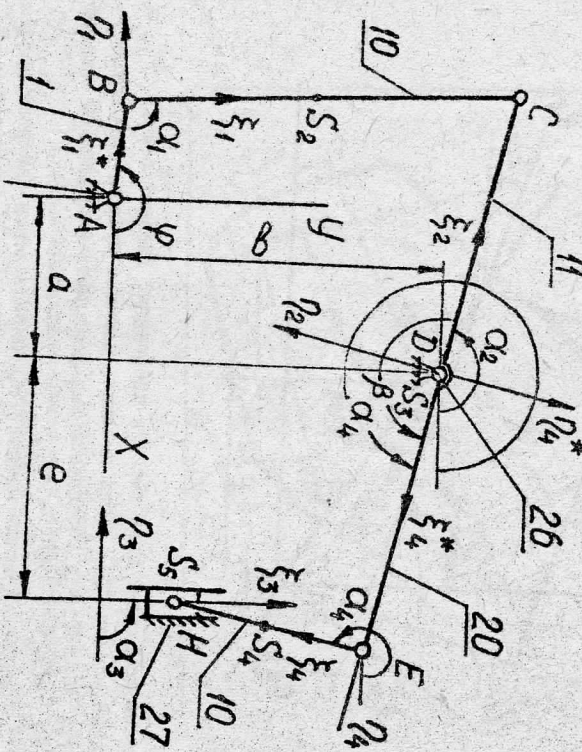


Рис. 15

МОМ ПО ДЕВЯТОЙ СТЕПЕНИ ВКЛЮЧИТЕЛЬНО,

$$F(\xi) = \sum_{i=0}^9 R_i \xi^i,$$

и является функцией перемещения выходного звена с момента начала действия силы в диапазоне изменения обобщенной координаты  $\varphi_M$ .

$\varphi_k$ .

Таблица 5

$m_1$	$y_1$	$\xi_{11}$	$R_{11}$	$m_2$	$y_2$	$\xi_{22}$	$R_{22}$
$m_2$	$y_2$	$\xi_{22}$	$R_{22}$	$m_1$	$y_1$	$\xi_{11}$	$R_{11}$
$m_3$	$y_3$	$\xi_{33}$	$R_{33}$	$m_4$	$y_4$	$\xi_{44}$	$R_{44}$
$m_4$	$y_4$	$\xi_{44}$	$R_{44}$	$m_3$	$y_3$	$\xi_{33}$	$R_{33}$

В рассматриваемом примере сила аппроксимируется ступенчатой функцией

$$F(\xi) = 1000 \text{ Н} = \text{const}$$

в интервале координаты  $d\varphi [0, 180^\circ]$ , отсчитываемой от крайнего положения механизма  $\varphi = 100, 235^\circ$ . Эта координата становится известной в результате кинематического расчета по САРДМ после установления крайнего положения выходного звена.

Все исходные данные в соответствии с матрицей строения механизма МСЭМ "собираются" в единий файл (см. приложение 7).

В этом файле указаны наименования параметров, а также элементы матрицы, которые вводятся в память ЭМУ.

В результате расчета по САРДМ вычисляются силы и моменты во внутренней и внешних кинематических парах группы Ассура, реакции на оси кривошипа и уравновешивающий момент.

Результаты силового расчета рассматриваемого шестизвездного механизма даны в приложении 8.

Результаты расположаются группами данных, разделенных горизонтальными отсечками, для ряда последовательных положений механизма от  $\varphi_M = 100, 235^\circ$  до  $\varphi_M = 460, 25^\circ$  с шагом  $d\varphi = 30^\circ$ , как это указано в файле исходных данных. Звено и кинематическая пара, которым соответствует строка результатов, указаны слова. Например, первая строка результатов в группе данных, где записано "внешняя кп МСЭМ (1,2)", читается следующим образом:  $R_F$ ,  $R_P$  и  $M$  относятся к внешней кп паре звена, указанного в элементе матрицы строения МСЭМ (1,2). Таким образом является шагун 10,

т.е. шагун ВС на рис. 15. Внешняя пара шагуна ВС, входящего в первую группу Ассура - это кинематическая пара В. Последняя строкка в группе данных содержит реакцию на кривошипе  $R_{F_B}$ ,

$R_{G_A}$  и уравновешивающий момент  $M_{G_P}$ .

#### 6. МИЛОЙ РАСЧЕТ ЗУБЧАТЫХ МЕХАНИЗМОВ

Для расчета на прочность зубьев колес, валов, осей и их опор в зубчатых механизмах силу взаимодействия между зубьями приближенно рассматривают без учета трения на середине ширины колеса в положении, когда общая контактная точка совпадает с полюсом зацепления Р.

Для полизубой цилиндрической звездчатой зубчатой передачи (рис. 16) эту силу взаимодействия между зубьями  $F_{tr}$ , приложенную к колесу 1 и направленную по нормали к рабочей поверхности зубьев, а, следовательно, по линии зацепления  $N_1 N_2$  раскладывают на две составляющие: окружную  $F_{tr}$  и радиальную  $F_{rr}$ .

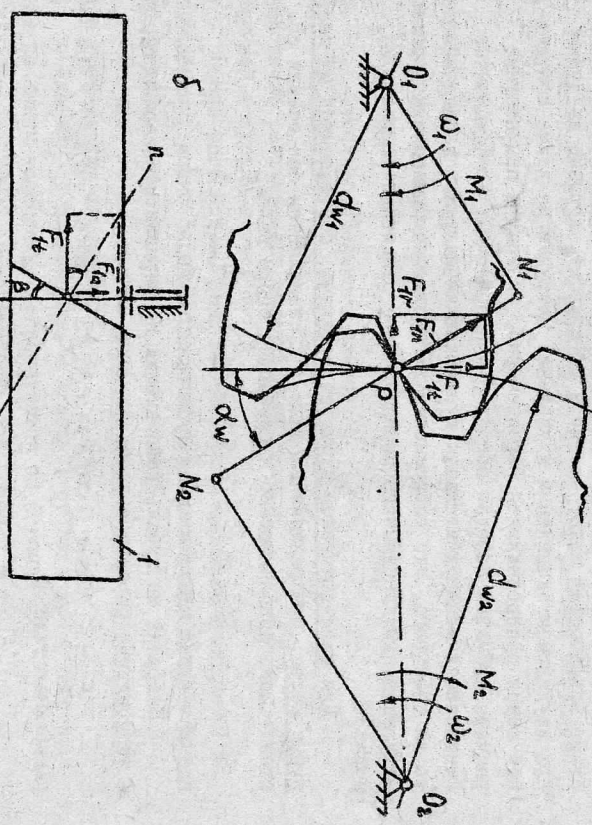


Рис. 15

Окруженная сила определяется по формуле

$$F_{1t} = 2M_1/d_{w1}$$

где  $M_1$  - передаваемый момент,  $d_{w1}$  - диаметр начальной окружности колеса 1. Приближенно вместо величины  $d_{w1}$  можно принять диаметр делительной окружности  $d'_1 = z_1 m$ , где  $z_1$  - число зубьев колеса 1,  $m$  - модуль, мм.

Реальная сила, действующая по нормали к рабочей поверхности зуба и служащая для нахождения контактных напряжений,

$$F_{1r} = F_{1t} / \cos \alpha_w$$

где  $\alpha_w$  - угол зацепления, определяемый из геометрического расчета зубчатой передачи.

Радиальная составляющая, раздвигающая зубчатые колеса,

$$F_{1r} = F_{1t} \cdot \operatorname{tg} \alpha_w$$

для колеса 2

$$F_{2t} = F_{1t} = 2M_2/d_{w2}; \quad F_{2r} = F_{1r}; \quad F_{2r} = F_{1r}$$

Следует отметить, что в реальных зубчатых передачах вследствие неточностей изготовления и деформаций нагрузка на зубья при двухпарном зацеплении и удельная нагрузка по длине контактной линии распределяются неравномерно, поэтому в прочностные расчеты зубчатых передач вводят ряд поправочных коэффициентов.

Учитывается и дополнительная динамическая нагрузка в виде момента за счет того, что погрешности изготовления приводят к переменному значению мгновенного передаточного отношения  $\omega_{12} = \omega_1/\omega_2 \neq \text{const}$ .

Для цилиндрической зубчатой передачи, составленной из косозубых колес, при разложении силы  $F_{1r}$  появляется еще осевая со-

ставляемая, дополнительно нагружающая опоры валов,

$$F_{1o} = F_{1t} \cdot \operatorname{tg} \beta = 2M_1 \cdot \operatorname{tg} \beta / d_{w1},$$

где  $\beta$  - угол наклона линии зуба (рис. 16б).

Нагрузка на зубья, действующая по нормали к поверхности, в этом случае определяется по формуле

$$F_{1n} = F_{1t} / (\cos \alpha_w \cdot \cos \beta) = 2M_1 / (d_{w1} \cdot \cos \alpha_w \cdot \cos \beta),$$

радиальная сила

$$F_{1r} = F_{1t} \cdot \operatorname{tg} \alpha_w / \cos \beta = 2M_1 \cdot \operatorname{tg} \alpha_w / (d_{w1} \cdot \cos \beta).$$

В конической зубчатой передаче, состоящей из прямозубых колес, составляющие силы  $F_{1n,12}$ , приложенные к зубьям колеса 1

(рис. Г7), находят по среднему торцовому сечению  $mm$ .

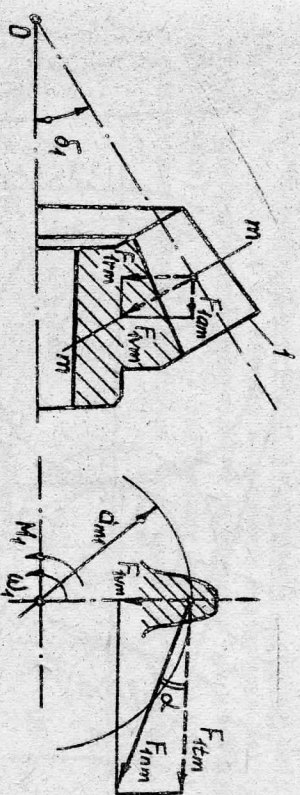


Рис. Г7

Окруженная сила

$$F_{1tm} = 2M_1/d_{mt}$$

где  $M_1$  - крутящий момент на валу колеса 1;  $d_{mt}$  - диаметр окружности делительного конуса в среднем сечении  $mm$ .

Реальная сила, действующая по нормали к рабочей поверхности зуба,

$$F_{1nm} = F_{1tm} / \cos \alpha,$$

где  $\alpha$  - угол профиля зуба исходного производящего контура (стандартная величина  $\alpha = 20^\circ$ ).

Радиальная сила  $F_{1rr} = F_{1tm} \cos \delta_1 = F_{1tm} \cdot \operatorname{tg} \alpha \cdot \cos \delta_1$ ,

где  $\delta_1$  - угол делительного конуса.

Основная сила  $F_{1am} = F_{1tm} \cdot \sin \delta_1 = F_{1tm} \cdot \operatorname{tg} \alpha \cdot \sin \delta_1$ . Аналогично рассчитывают составляющие силы  $F_{2nm} = F_{1nm} \cdot \text{примененной к зубьям колеса 2}$ .

После того как найдены составляющие нормальной нагрузки в зацеплении, можно определить силы, действующие от зубчатых колес на валы, оси и их опоры.

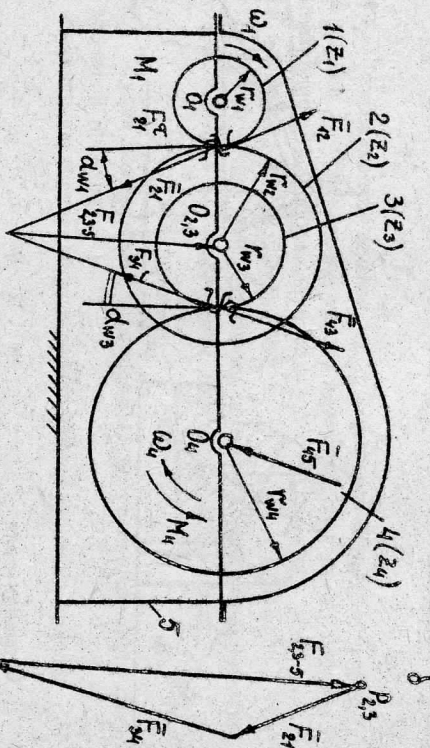
На рис. 18 дан пример силового расчета двухрельсного редуктора графическим способом.

Сила  $F_{12}$ , приложенная к колесу 1 от колеса 2 и действующая по линии зацепления, определяется по формуле

$$F_{12} = F_{1r} = M_1 / (r_{w1} \cdot \cos \alpha_{w1}),$$

где  $M_1$  - крутящий момент на входном валу 1;  $r_{w1}$  - радиус начальной окружности колеса 1;  $\alpha_{w1}$  - угол зацепления для передачи, составленной из колес 1,2.

a



б



Рис. 18

Сила  $\bar{F}_{12} = -\bar{F}_{21}$  приложена к колесу 2 (рис. 18а). Вторая передача составлена из колес 3,4, причем колесо 3 закреплено на том же валу, что и колесо 2. На колесо 3 от колеса 4 действует сила  $\bar{F}_{34}$  по линии зацепления, наклоненной под углом зацепления  $\alpha_{w_3}$ . В результате на вал с осью  $O_{2,3}$ , на котором закреплены колеса 2,3, действуют три силы (без учета сил тяжести и трения):  $\bar{F}_{21}$ ,  $\bar{F}_{34}$  и сила  $\bar{F}_{23-5}$  со стороны опоры  $O_{2,3}$ . При равномерном вращении колес  $\bar{F}_{23-5} + \bar{F}_{34} + \bar{F}_{23-5} = 0$ , откуда построением треугольника сил (рис. 18б) можно найти силу  $\bar{F}_{23-5}$ .

Сила в опоре  $O_4$ , приложенная к выходному валу,

$$\bar{F}_{45} = -\bar{F}_{43} = \bar{F}_{34}.$$

Момент на выходном валу редуктора  $M'_4 = F'_{43}/(r_{w_4} \cdot \cos \alpha_{w_3})$ .

Этот момент без учета потерь на трение можно найти также из равенства мощностей

$$M_{4c\omega_4} = M_{4'c\omega_4},$$

откуда

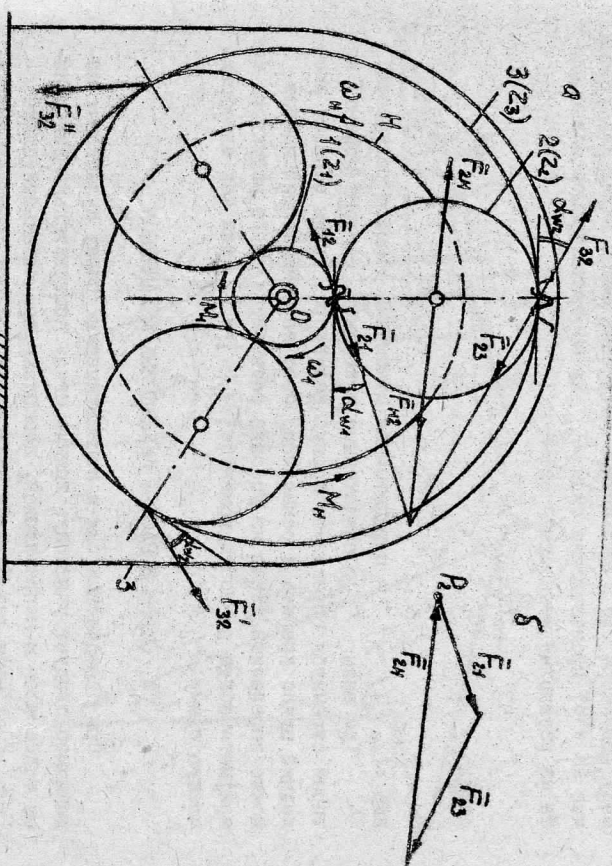
$$M'_4 = M_4 \cdot \omega_4 = M_4 \frac{z_2 z_4}{z_1 z_3},$$

где  $\omega_4 = \frac{\omega_1}{z_1 z_3}$  — передаточное отношение редуктора;  $z_i$  — число зубьев колес.

$$\text{Силы } \bar{F}_{34} = \bar{F}_{12}, \bar{F}_{23-5} = -\bar{F}_{23-5}, \bar{F}_{34} = -\bar{F}_{45} \text{ будут}$$

б4

д



е



Рис. 19

ж

дут нужны для прочностного расчета корпуса редуктора и крепления его к основанию.

Приближенный силовой расчет планетарных редукторов без учета сил инерции и сил тяжести выполняется аналогично. Так, например, для однорядного планетарного редуктора с тремя сателлитами (рис. 19а) три силы  $\bar{F}_{12}$  в зацеплениях центрального колеса 1 с сателлитами 2 будут одинаковыми, если колесо 1 "плавающее".

ж

Если же ось вращения 0 этого колеса фиксирована, распределение сил  $\bar{F}_{12}$  будет зависеть от точности изготовления, так как механизм будет статически неопределен. Но и в этом случае приближенно можно считать распределение этих сил равномерным, и тогда сила

$$\bar{F}_{12} = 2M_1/(d_{w_1} \cdot k \cdot \cos \alpha_{w_1}),$$

где  $M_1$  — крутящий момент на входном валу редуктора;  $d_{w_1}$  — диаметр наружной окружности колеса 1;  $k$  — число сателлитов;  $\alpha_{w_1}$  — угол зацепления.

В зацеплении сателлита 2 и неподвижного колеса 3 с внут-

ж

ренными зубьями силы взаимодействия между зубьями  $\bar{F}_{23}$ , приложенными к сателлиту 2, направлены по соответствующим линиям зацепления с наклоном под углом зацепления  $\alpha_{M2}$ .

В результате можно найти силу  $\bar{F}_{2H}$ , приложенную к сателлиту 2 от ведила H, из векторного уравнения сил для звена 2

$$\bar{F}_{21} + \bar{F}_{23} + \bar{F}_{2H} = 0$$

путем построения плана сил (рис. 19б). Момент  $M_H$  на выходном валу редуктора без учета потерь на трение можно найти как уточненное ( $K = 3$ ) произведение силы  $\bar{F}_{2H}$  на соответствующее плечо или же из равенства мощностей

$$M_f \omega_f = M_H \cdot c \omega_H,$$

откуда

$$M_H = M_f \cdot c \omega_H,$$

где  $c \omega_H = f + \frac{z_3}{2f}$  — передаточное отношение данного редуктора.

При силе  $\bar{F}_{32}$ , приложенной к корпусу, создают момент, который стремится опрокинуть корпус редуктора, таким образом последний нужно крепить к основанию. Этот опрокидывающий момент можно определить также из условия равновесия всего редуктора как арифметическую разность моментов  $|M_H| - |M_f|$  (или как алгебраическую сумму  $M_f + M_H$ ).

## 7. СИЛОВОЙ РАСЧЕТ КУЛАЧКОВЫХ МЕХАНИЗМОВ

При определении сил в кинематических парах кулачковых механизмов следует учитывать трение между поступательно движущимся толкателем и направляющей, поскольку при небольшой длине  $\ell$  (рис. 20а) возможна большая сила трения, а при значительном угле давления  $\varphi$  может наступить самоторможение (заклинивание) толкателя. Поэтому при силовом расчете, в зависимости от рода материалов и условий работы, принимают ориентировочные значения коэффициента трения скольжения  $f_f$  и находят угол трения  $\varphi_f = \arctg f_f$ .

Нагрузка на толкатель 2 в виде силы  $F_2$  включает в себя силу полезного (производственного) сопротивления, силу тяжести, усилие пружины или другую силу, обеспечивающую замыкание высшей кинематической пары, силу инерии толкателя (последнюю можно не учитывать, если механизм тихоходный). К толкателью 2 приложены четыре силы:  $\bar{F}_2$ , реакции направлений  $\bar{F}_{21}$ ,  $\bar{F}_{23}$  и сила

$\bar{F}_{2H}$  от кулачка (направления сил  $\bar{F}_{23}'$ ,  $\bar{F}_{23}''$  и  $\bar{F}_{2H}$  известны). Поэтому из уравнения моментов сил, приложенных к звену 2, относительно точки 0 можно найти силу  $\bar{F}_{21}$ :

$$F_{21} \cdot h_{F21} - F_2 \cdot \ell_{CD} = 0,$$

откуда

$$F_{21} = F_2 \cdot \ell_{CD} / h_{F21},$$

где план сил  $C_0 = \ell / (2 \sin \varphi_f)$ ;  $h_{F21} = \ell_{CD} \cdot \cos \varphi - \ell_{BD} \cdot \sin \varphi$ .

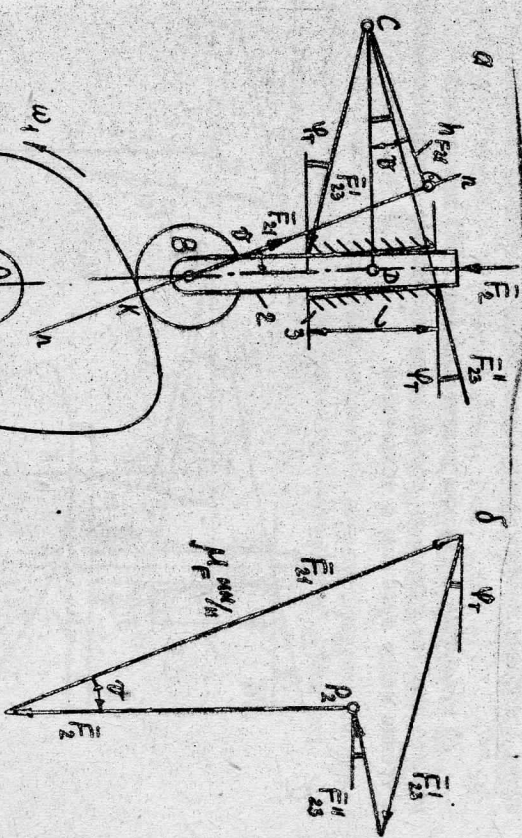


Рис. 20

Силы  $\bar{F}_{23}'$  и  $\bar{F}_{23}''$  определяют из плана сил (рис. 20б), построенного по уравнению

$$\bar{F}_2 + \bar{F}_{21} + \bar{F}_{23}' + \bar{F}_{23}'' = 0,$$

если не учитывать силу тяжести кулачка, трение во вращательной паре 0 и инерционную нагрузку в виде силы и пары сил

инерции кулачка, то усилие, приложенное к стойке от кулачка,

$$\bar{F}' = \frac{\bar{F}}{r'}$$

с уменьшением длины направляющей  $\ell$  сила  $F_2'$  и реакции  $F_{23}'$ ,  $F_{23}''$  увеличивается, что приводит и к посту сил трения, поэтому для надежной работы механизма необходимо принимать длину направляющей так, чтобы коэффициент возрастания усилий (по

Л.Н.Решетову) соответствовал условию

$$K_F = F_2'/F_2 \leq 2.$$

Во избежание отъезда толкателя от кулачка при работе механизма (особенно быстроходного) необходимо выполнение условия  $F_2 > 0$ .

В механизме с плоским толкателем (рис. 21) при сжатом расчете следует учитывать трение между толкателем и направляющей  $\ell$  и трение между кулачком и толкателем.

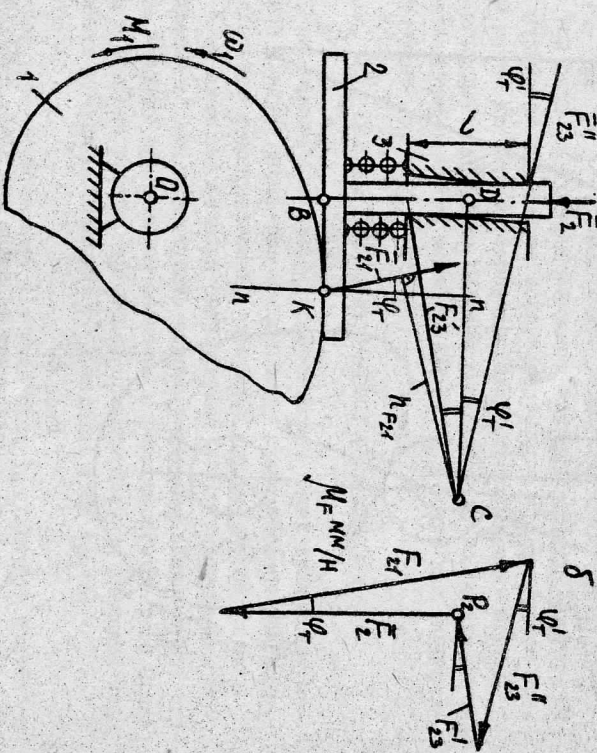


Рис. 21

Решение задачи аналогично предыдущему. Нужно обратить внимание на то, что, хотя угол давления здесь всегда равен нулю, возможен заклинивание толкателя. Поэтому, как и в предыдущем случае,

необходимо выбрать длину направляющей  $\ell$  так, чтобы коэффициент возрастания усилий ограничивался условием

$$K_F = F_2'/F_2 \leq 2.$$

#### ЛИТЕРАТУРА

1. Теория механизмов и машин / Под ред. К. В. Фролова. — М. : Высшая школа, 1987. — 495 с.
2. Попов С. А. Курсовое проектирование по теории механизмов и механике машин. — М. : Высшая школа, 1986. — 294 с.
3. Лукчев Д. М., Гимофеев Г. А. Определение усилий в кинематических парах рычажных механизмов с применением ЕС ЭВМ. — М. : МГТУ, 1983. — 41 с.
4. Учебное пособие для выполнения домашних заданий по первой части дисциплины "Основы проектирования машин" / Под ред. В. А. Никонорова. — М. : МГТУ, 1989. — 81 с.

Продолжение прил. I

```

C-----+
C-----+ ПРОГРАММА РАСЧЕТА К.П.Ф. И УСИЛИЯ 24/10/89 +-
C-----+
C-----+ КРИВОШИПНО-КОРОМЫСЛОВО-ПОЛЗУННОГО +
C-----+ * * * T.FTN * * *
C-----+
C-----+
        BYTE NAMEF, TEXTNA(20),SYM, VAR1(8), VARIF(16)
        DIMENSION HHH(2)
        COMMON /TTT/ III
        COMMON /INP/ NAMEF(20),NSYM,NLINES,NMM
        DATA NAMEF/'S', 'Y', ' ', 'I', 'N', 'P', ' ', 'D', 'A', 'T',
        * 9*0/, NSYM,NLINES,NMM/80,21,11/
        CALL CLRPG
        CALL BLOCK
        CALL PLI(' *** ПРОГРАММА РАСЧЕТА К.П.Ф. И УСИЛИЯ'
        * ,5,15, ' *** ,0)
        CALL PLI(' *** КРИВОШИПНО-КОРОМЫСЛОВО-ПОЛЗУННОГО',
        * 7,15, ' *** ,0)
        CALL PLI(' *** МЕХАНИЗМА *** ,9,23,0,0)
        CALL PLI(' *** ИМ. Н.Э.БУРМАНА ,12,10,0,0)
        CALL PLI(' *** КАФЕДРА ТЕОРИИ МЕХАНИЗМОВ ,14,26,0,0)
        CALL RLINES('ВВЕДИТЕ ФАМИЛИЮ : ',TEXTNA,NISYM,0,
        * 19,10,16)
        CALL PLI(TEXTNA,19,28,0,0)
        CALL VAR(VAR1,VARIF)
        MIST=0
        CALL EXAM(12,4,18,'$!TEX.DAT',11,NR,MIST)
        OPEN(UNIT=3,NAME=VARIF,FORM='FORMATTED',
        * TYPE='NEW',INITIALSIZE=10,ERR=1001)
        CALL INITE(132,131,133)
12      CALL TIME(NHH)
        WRITE(3,12)131,132,133,HHH,(TEXTNA(I),I=1,16)
        * ,MIST
        FORMAT1X,68(HH-)BX,
        * КИФ И УСИЛИЯ КРИВОШИПНО-КОРОМЫСЛОВО-ПОЛЗУННОГО МЕХАНИЗМА'
        * 2X,'ДАТА: ',12, ' ',12,2X,'ВРЕМЯ: ',24,2X,
        * 'ФАМИЛИЯ: ',16A1,1X,'ЗАМЕЧЕНИЕ: ',11)
        IF(MIST.LE.1)GOTO 1002
        CALL FRIK('ВВЕДИТЕ СИМВОЛ: ','MISS', ' ПРОГРАММА ДЛЯ
        * РАСЧЕТА НЕДОСТУПНА ,10,5)
        GOTO 101
1002    CALL T
        CALL OUTPUT(VARIF)
        IF-INREP('НЕМЕТЬ ПОСТОЯННЫЙ РАСЧЕТ (ДА/НЕТ)?',
        * 'ДА, YESNO/НЕТ, ',22,1)
        IF(11-2)1000,101,101
        CALL PLI('ОПИСКА ОТКРЫТИЯ ФАЙЛА ',23,1,VARIF,0)
        101   CALL EXIT
        END
C-----+
        SUBROUTINE T
        IMPLICIT REAL (L,N)
C-----+

```

Продолжение прил. I

Продолжение прил. I

Окончание прил. 1

```

F21=80RT(F21X**2+F21Y**2)
F210=A10N2(F21Y,F21X)*100./PI
F16X=F21X+M1*GSP*CBT
F16Y=F21Y+M1*GSP*CBT
F16=50RT(F16X**2+F16Y**2)
F16G=ATAN2(F16Y,F16X)*100./PI
C-----  

ПЕЧАТЬ РЕЗУЛЬТАТОВ РАСЧЕТА
WRITE(3,82)F0,F21,F32,F43,F45,F36,F16,F56
82 FURMAT(11,F6.1,7F8.1,X)
WRITE(3,63)F21G,F132G,F143G,F145G,F136G,F116G
63 FORMAT(7A,6X,F6.1,1X)
FORMAT(7A,6X,F6.1,1X)
* C,, 'F45', 6X, 'F36', 6X, 'F16', 6X, 'F32', 6X, 'F43',
* 8X, 'F121G', 4X, 'F132G', 4X, 'F143G',
* 4X, 'F145G', 4X, 'F136G', 4X, 'F116G' /X,68(' . '))
100 CONTINUE
641 WRITE(3,641)
FORMAT(IX,68(' . '))
CALL CLOSE(3)
1000 RETURN
* 23,5,0,0)
CALL PLI' ---- КОНЕЦ ИМ ОШИБКА ФАЙЛА ЧТЕНИЯ',
F0 F21 F32 F43 F45 F36 F16 F56
F121G F132G F143G F145G F136G F116G
.....
```

ЧИСЛЫ В КРУГЛЫХ КОФОРМЫСЛОВО-НОДУЛЮНОМ МЕЖДУННОМ  
МЕТА: 8- 1-89' ВРЕМЯ: 19:11:27 ФАЙЛЫЧИЯ: ЯМНДКИ

ИСХОДНЫЕ ДАННЫЕ  
NC-J= 13 W-BTRP1= 30.00 ALM= 0.170 RHM= 0.340  
L10M= 0.100 L21-J= 4.000 LAS21-J= 0.500 LA3C-J= 3.000  
LACDC-J= 3.000 LACL-J= 2.000 LAS41-J= 0.500 LAE1-J= 2.500  
M2KJ= 5.0000 M3KJ= 8.0000 M4KJ= 0.2000 M5KJ= 0.0000  
12ENKMH42J= 6.0000 13ENKMH42J= 0.2000 14ENKMH42J= 6.0000  
MSKJ= 50.0000 MIKJ= 100.0000  
ИМП1/С1= 100.0000  
МАССИВ CHA F5

1000.000	1000.000	1000.000	1000.000	1000.000	1000.000
1000.000	1000.000	1000.000	1000.000	1000.000	1000.000
0.000	0.000	0.000	0.000	0.000	0.000

РЕЗУЛЬТАТЫ РАСЧЕТА

F0	F21	F32	F43	F45	F36	F16	F56
F121G	F132G	F143G	F145G	F136G	F116G		
36.8	26525.1	21003.0	12761.9	9861.2	33364.2	26039.6	-274.5
	-145.3	-138.5	175.0	-1.6	0.0	-145.1	
66.8	14990.9	10196.3	8810.5	6892.2	19480.0	14509.7	-676.8
	-142.5	-143.1	173.6	-5.8	0.0	-142.1	
96.8	5724.0	2957.2	4228.2	3479.4	7195.2	5331.5	-814.7
	-110.1	-145.4	171.9	-13.5	0.0	-115.0	
126.8	1533.1	2252.7	442.9	60.5	1973.7	1899.0	-57.0
	-21.0	109.6	-47.3	-142.3	0.0	-10.0	
156.8	3379.8	4500.2	3242.3	2253.5	4563.6	3784.3	731.8
	63.3	118.3	-17.2	161.1	0.0	58.9	
186.8	5131.1	5717.5	4281.1	3052.7	5025.4	5427.0	1001.4
	81.6	129.0	-13.5	160.9	0.0	77.4	
216.8	6309.7	5065.4	4543.4	3250.6	4885.6	6543.3	1033.8
	99.1	133.8	-11.3	161.5	0.0	86.2	
246.8	8183.3	6384.4	6077.4	4660.4	5912.9	8214.4	1322.0
	165.2	137.9	-11.6	162.9	0.0	101.0	
276.8	9802.5	7711.4	7358.5	5624.6	7596.9	9871.5	1726.3
	109.9	131.7	-13.8	162.1	0.0	107.1	
306.8	9772.2	8200.4	7344.9	5630.5	9392.1	9834.4	1681.5
	105.9	115.1	-16.8	162.6	0.0	103.1	
336.8	4438.6	2964.6	1643.4	1282.3	4286.9	5996.4	-524.1
	-129.2	-102.4	-128.4	-24.1	0.0	-126.3	
366.8	27516.1	24837.6	13022.4	9891.5	34265.8	22057.0	-1156.8
	-133.6	-123.1	173.0	-6.7	0.0	-132.7	
396.8	25329.3	19815.0	11762.0	8800.4	31192.9	24843.8	-231.5
	-145.3	-138.1	174.8	-1.5	0.0	-145.1	

Приложение 2

Приложение 3

Окно на мир. 3





Приложение 6

72

ИСХОДНЫЕ ДАННЫЕ,		ГРУППА		ЗАМЕНА	
VARE52	F LCA=1,667 LCS=1,222 F131=43,72 F13K=88,72 САН=10,50 LCS3=2,310 LBS4=0,480 LS1A=0,420				
ВЕТА=313,722	C15=1,502 J25=1,502 J35=0,622,0	+12	15,0 M2=28,0 M3=0,656,0 N=10		
K3=	0,0 2,402 2,502 2,502 2,472 2,380 0,260 0,100 0,025 10,0				
E3=	1,420 1,000 2,502 2,0 2,0,302 2,500 0,320 0,250 0,200 2,0				

РЕЗУЛЬТАТЫ СИЛОВОГО РАСЧЕТА МЕХАНИЗМА С КАЧАЮЩИМСЯ ЦИЛИНДРОМ

F13G	F14	F114G	F34	F154G	F32	F132G	F2
2,2	0,222E 05	2,134E 03	2,127E 05	2,311E 03	0,218E 05	0,134E 03	0,221E 03
5,00	0,223E 05	2,134E 03	2,969E 04	2,329E 03	0,198E 05	0,134E 03	0,220E 03
10,00	2,178E 05	2,135E 03	2,832E 04	2,310E 03	0,174E 05	0,135E 03	0,177E 03
15,00	2,150E 05	0,135E 03	2,679E 04	2,313E 03	0,149E 05	0,137E 03	0,152E 03
20,00	0,135E 05	2,136E 03	2,553E 04	2,329E 03	0,131E 05	0,138E 03	0,134E 03
25,00	0,121E 05	2,138E 03	2,445E 04	2,329E 03	0,117E 05	0,139E 03	0,120E 03
30,00	0,124E 05	2,138E 03	2,439E 04	2,333E 03	0,120E 05	0,141E 03	0,123E 03
35,00	0,119E 05	2,140E 03	2,389E 04	2,348E 03	0,115E 05	0,142E 03	0,118E 03
40,00	0,114E 05	2,142E 03	2,337E 04	2,349E 03	0,110E 05	0,144E 03	0,112E 03
45,00	0,115E 05	2,144E 03	2,322E 04	2,352E 03	0,111E 05	0,144E 03	0,113E 03

1	2	1101126271210020
***** ИСХОДНЫЕ ДАННЫЕ ВХОДНОГО ЗВЕНА *****		
3	АРГУМЕНТ ЗДЕСТЬ В СЕК.-(1) ИЛИ В ГРАД.-(0) -----;LARG=	0,0
4 НАЧАЛЬНОЕ ЗНАЧЕНИЕ АРГУМЕНТА -----;FNU= 100 2,350		
5	ШАГ -ИЗМЕНЕНИЯ АРГУМЕНТА -----;IDF= 30,00000	
6	КОНЕЧНОЕ ЗНАЧЕНИЕ АРГУМЕНТА -----;IFK= 460 2,350	
7	УГОЛЫ ВОДОРЯДА -----;IPRA/CJ= 0,0000000	
8	ТОЧНОСТЬ ИЧИСЛЕНИЯ -----;IUM= 100,00000	
9	***** ПРИЧИНОЙ РН ПО СХЕМЕ 1 ***** -----;DEL= 0,0001	
10	ДИНА КРЫШИНЫ -----;LM1=;C(1, 3)	= 0,1000000
11	КООРДИНАТЫ ОСИ ВЕЛИЧИНЫ КРЫШИНЫ -----;LM1=;C(1, 1)= 0,0000000	
12	КООРДИНАТА У ОСИ ВРАЩЕНИЯ КРЫШИНЫ -----;LM1=;C(1, 2)= 0,0000000	
13	МАССА ЗВЕНА -----;LM1=;URV(1)= 50,00000	
14	КООРДИНАТА ОСИ ЦЕНТРА МАСС ЗВЕНА -----;LM1=;URV(2)= 0,0000000	
15	КООРДИНАТА ОСИ ЦЕНТРА МАСС ЗВЕНА -----;LM1=;URV(3)= 0,0000000	
16	***** ШАУН ПО СХЕМЕ 10 ***** -----;LM1=;S(1, 3)	= 0,4000000
17	ДИНА ШАУНА -----;LM1=;S(1, 1)	= 100,0000
18	УГОЛ НАКЛЮНА ШАУНА -----;LM1=;S(1, 5)	= 0,0000000
19	M1,1= 5,000000	
20	МАССА ЗВЕНА -----;LM1=;S(1, 1)	= 5,000000
21	МОМЕНТ ИНЕРЦИИ ЗВЕНА -----;LNG----;B(1, 2)= 0,1000000E-01	
22	КООРДИНАТА ОСИ ЦЕНТРА МАСС ЗВЕНА -----;LM1=;B(1, 3)= 0,2000000	
23	КООРДИНАТА ОСИ ЦЕНТРА МАСС ЗВЕНА -----;LM1=;B(1, 4)= 0,0000000	
24	***** ПОЛУМ. ПО СХЕМЕ 11 ***** -----;LM1=;S(1, 8)= 0,3000000	
25	ДИНА КОРОМЫСА -----;LM1=;S(1, 8)	= 0,1000000
26	КООРДИНАТА Х НЕПОВЫХНОГО ШАРНИРА -----;LM1=;S(1, 7)= 0,3400000	
27	КООРДИНАТА У НЕПОВЫХНОГО ШАРНИРА -----;LM1=;S(1, 7)	= 0,3400000
28	УГОЛ НАКЛЮНА КОРОМЫСА -----;LM1=;S(1, 10)= 174,0000	
29	M11,2= 10,00000	
30	МАССА ЗВЕНА -----;LM1=;S(1, 5)= 0,0000000	
31	МОМЕНТ ИНЕРЦИИ ЗВЕНА -----;LNG----;B(1, 6)= 0,2000000	
32	КООРДИНАТА ОСИ ЦЕНТРА МАСС ЗВЕНА -----;LM1=;B(1, 7)= 0,0000000	
33	КООРДИНАТА ОСИ ЦЕНТРА МАСС ЗВЕНА -----;LM1=;B(1, 8)= 0,0000000	
34	***** ПОЛУМ. ПО СХЕМЕ 12 ***** -----;LM1=;S(2, 4)= 0,0000000	
35	ЭКСПЕРИМЕНТИРУЕТ ПОЛУМ. -----;LM1=;S(2, 1)= 0,4000000	
36	КООРДИНАТА Х НАЧАЛА ПСК -----;LM1=;S(2, 2)= 0,0000000	
37	КООРДИНАТА У НАЧАЛА ПСК -----;LM1=;S(2, 2)	= 0,0000000
38	УГОЛ НАКЛЮНА ПСК -----;LM1=;S(2, 5)= 90,00000	
39	M(2,1)= 3,000000	
40	МАССА ЗВЕНА -----;LM1=;S(2, 3)= 0,0000000	
41	СМЕЩЕНИЕ Ц.М. ПО ОСИ ОСИ ОТ ШАРНИРА -----;LM1=;S(2, 4)= 0,0000000	
42	КООРДИНАТА ОСИ ЦЕНТРА МАСС ЗВЕНА -----;LM1=;S(2, 4)	= 0,0000000
43	***** ШАУН ПО СХЕМЕ 10 ***** -----;LM1=;S(2, 8)= 0,2000000	
44	ДИНА ШАУНА -----;LM1=;S(2, 10)	= 260,0000
45	УГОЛ НАКЛЮНА ШАУНА -----;LM1=;S(2, 10)	= 0,0000000
46	M(2,2)= 10,00000	
47	МАССА ЗВЕНА -----;LM1=;S(2, 5)= 0,7000000E-02	
48	МОМЕНТ ИНЕРЦИИ ЗВЕНА -----;LM1=;B(2, 6)= 0,1000000	
49	КООРДИНАТА ОСИ ЦЕНТРА МАСС ЗВЕНА -----;LM1=;B(2, 7)= 0,0000000	
50	КООРДИНАТА ОСИ ЦЕНТРА МАСС ЗВЕНА -----;LM1=;B(2, 8)= 0,0000000	
51	***** ПРИСЕДИМЕНИЕ ПО СХЕМЕ 20 ***** -----;LM1=;S(2, 8)= 0,3000000	
52	РАССТОЯНИЕ ПО ТОЧКИ ПРИСЕДИМЕНИЯ ГР-----;LM1=;S(2, 8)	= 180,0000
53	УГОЛ НЕМУ ПОДВИЖНОЙ ОСИ КООРДИНАТЫ ГР-----;LM1=;S(2, 10)	= 0,0000000

Приложение 7

## Приложение 8

54 \*\*\*\*\* ПАРАМЕТРЫ АКТИВНОЙ СИЛЫ (PAS) (ACISIL.DEC)\*\*\*\*\*  
 55 НОМЕР ГА, В КОТОРОМ ДЕЙСТВУЕТ PAS = 1; IF= 2.000000  
 56 НОМЕР ЯЧЕИК МАТРИЦЫ MS ДЛЯ ЗВЕНЬЯ ПРИЛОЖЕНИЯ PAS = 1(M) RKSAS= 0.0000000  
 57 КООРДИНАТЫ КСК ТОКИ ПРИЛОЖЕНИЯ PAS = (M) ETAS= 0.0000000  
 58 КООРДИНАТА ЭТА ТОКИ ПРИЛОЖЕНИЯ PAS = (M) PAS= 180.0000  
 59 УГОЛ НАКЛОНА PAS К ОСИ XCS  
 60 НАЧАЛЬНЫЙ УГОЛ ПОВОРОТА ВХОДНОГО ЗВЕНЯ --- (ГРАД) --- FNAS= 100.2000  
 61 КОНЕЧНЫЙ УГОЛ ПОВОРОТА ВХОДНОГО ЗВЕНЯ --- (ГРАД) --- FNAS= 280.2000  
 62 КОЭФФИЦИЕНТЫ ПОЛИНОМА, ОПИСЫВАЮЩЕГО ПРИЛОЖЕНИЕ PAS = (M) ETAS= 0.0000000  
 63 ИЗМЕНЕНИЕ РАЗ, КАК ФУНКЦИИ ПЕРЕМЕННОЙ PAS = (M) PAS(3)= 0.0000000  
 64 ----- ЗВЕНЬЯ, К КОТОРЫМ ПРИЛОЖЕНА "PAS" = (M) PAS(4)= 0.0000000  
 65 ----- (ИЗМЕНЕНИЕ ЗВЕНЯ ОПИСЫВАЕТСЯ ПОДСИМБОЛАМИ PAS(1)= 0.0000000  
 66 ----- ОТ ПОДСИМБОЛА, СОПОСТАВЛЕННОГО PAS(2)= 0.0000000  
 67 ----- И ВЕРСИЯ ПО АБСОЛЮТНОЙ ВЕЛИЧИНЕ; PAS(6)= 0.0000000  
 68 ----- ПРИЛОЖЕНИЕ СИЛ (СЕ "ЗНАК") = (M) PAS(7)= 0.0000000  
 69 ----- ОПРЕДЕЛЯЕТСЯ КОЭФФИЦИЕНТОМ ПОЛИНОМА PAS(9)= 0.0000000  
 70 ----- И GUS(GAS) = 0.0000000  
 71 ----- (РАЗМЕРНОСТЬ ИТОГОВОЙ СИЛЫ - ТН) = (M) GAS(10)= 0.0000000

---

САРИМ (КИНЕМАТИКА)  
 ДАТА : 29-11-89 ВРЕМЯ : 12:05:04  
 ВЕСОВАЯ МАТРИЦА G:  
 49.500 0.010 0.210 0.000 78.480 0.200 0.000 0.000  
 50.840 0.000 0.000 6.000 19.620 0.000 0.100 0.000  
 ВЕСОВАЯ МАТРИЦА ПЕРВЫХ МЕХАНИЗМОВ GRV:  
 0.4905E+03 0.0000E+00 0.0000E+00  
 CNR= 0.0000E+00 FNAS= 280.200 Gas= 180.000 RKSAS= 0.000  
 ETAS= 0.000  
 FNAS= 100.200 FNAS= 280.200 Gas= 180.000 RKSAS= 0.000  
 КОЭФФИЦИЕНТЫ ПОЛИНОМА АКТИВНОЙ НАГРЭЗКИ PAS:  
 0.1000E+04 0.0000E+00 0.0000E+00 0.0000E+00  
 0.0000E+00 0.0000E+00 0.0000E+00 0.0000E+00  
 ----- FT= 100.24 ----- RCKD----- F31A----- MR-----  
 ----- FT= 100.24 ----- RCKD----- F31A----- MR-----  
 ВНЕШНЯЯ КП MS(1,2) -0.2679E+05 0.1281E+04 0.0000E+00  
 ВНЕШНЯЯ КП MS(1,3) 0.2043E+05 -0.2667E+05 0.0000E+00  
 ВНЕШНЯЯ КП ГРУППЫ 1 0.2116E+05 0.1416E+04 0.0000E+00  
 ВНЕШНЯЯ КП MS(2,1) 0.0000E+00 0.2122E+03 -0.2525E+01  
 ВНЕШНЯЯ КП MS(2,3) -0.1772E+05 0.50013E+03 0.0000E+00  
 ВНЕШНЯЯ КП ГРУППЫ 2 0.9794E+04 -0.2121E+03 0.0000E+00  
 ВНЕШНЯЯ КП MS(2,2) -0.8777E+04 0.1033E+03 0.0000E+00  
 ВНЕШНЯЯ КП MS(2,3) -0.2831E+05 0.1212E+04 0.1299E+03  
 ----- FT= 130.24 ----- RCKD----- F31A----- MR-----  
 ВНЕШНЯЯ КП MS(1,2) -0.1607E+05 -0.3495E+03 0.0000E+00  
 ВНЕШНЯЯ КП MS(1,3) 0.9189E+04 -0.1852E+05 0.0000E+00  
 ВНЕШНЯЯ КП ГРУППЫ 1 0.188E+05 -0.2332E+03 0.0000E+00  
 ВНЕШНЯЯ КП MS(2,2) 0.0000E+00 0.6127E+03 0.3589E+01  
 ВНЕШНЯЯ КП MS(2,3) -0.8777E+04 0.1033E+03 0.0000E+00  
 ВНЕШНЯЯ КП ГРУППЫ 2 0.6854E+04 -0.6127E+03 0.0000E+00  
 ВНЕШНЯЯ КП ГРУППЫ 1 0.1190E+04 -0.8955E+04 0.0000E+00  
 ВНЕШНЯЯ КП ГРУППЫ 2 0.4575E+04 -0.1371E+04 0.0000E+00  
 ВНЕШНЯЯ КП ГРУППЫ 3 0.0000E+00 0.7445E+03 0.3711E+02  
 ВНЕШНЯЯ КП MS(2,2) -0.4189E+04 -0.2143E+03 0.0000E+00  
 ВНЕШНЯЯ КП MS(2,3) 0.3379E+04 -0.7445E+03 0.0000E+00  
 ВНЕШНЯЯ КП ГРУППЫ 2 0.3690E+04 -0.4937E+04 0.5409E+03  
 ----- FT= 190.24 ----- RCKD----- F31A----- MR-----  
 ВНЕШНЯЯ КП MS(1,2) 0.1695E+04 -0.1761E+04 0.0000E+00  
 ВНЕШНЯЯ КП MS(1,3) -0.1634E+04 0.9912E+03 0.0000E+00  
 ВНЕШНЯЯ КП ГРУППЫ 1 0.1882E+04 -0.1685E+04 0.0000E+00  
 ВНЕШНЯЯ КП MS(2,2) 0.0000E+00 0.65159E+02 0.7225E+01  
 ВНЕШНЯЯ КП MS(2,3) 0.3856E+03 -0.2089E+03 0.0000E+00  
 ВНЕШНЯЯ КП ГРУППЫ 2 -0.5059E+02 -0.6519E+02 0.0000E+00  
 ВНЕШНЯЯ КП ГРУППЫ 3 0.2099E+04 -0.1891E+04 -0.1408E+03  
 ----- FT= 220.24 ----- RCKD----- F31A----- MR-----  
 ВНЕШНЯЯ КП MS(1,2) 0.6821E+04 -0.1655E+04 0.0000E+00  
 ВНЕШНЯЯ КП MS(1,3) -0.1634E+04 0.9912E+03 0.0000E+00  
 ВНЕШНЯЯ КП ГРУППЫ 1 -0.9325E+03 0.7 0E+04 0.0000E+00  
 ВНЕШНЯЯ КП ГРУППЫ 2 0.4301E+04 -0.1395E+04 0.0000E+00  
 ВНЕШНЯЯ КП MS(2,2) 0.3229E+04 -0.2377E+02 0.0000E+00  
 ВНЕШНЯЯ КП MS(2,3) 0.3229E+04 -0.2377E+02 0.0000E+00  
 ВНЕШНЯЯ КП ГРУППЫ 2 -0.2133E+04 0.6055E+03 0.0000E+00  
 ВНЕШНЯЯ КП ГРУППЫ 3 -0.5212E+04 -0.5235E+04 -0.4052E+03

Продолжение прил. 8

ВНЕШНЯЯ КП MS(1,2)	0.9359E+04	-0.9156E+03	0.0000E+00
ВНЕШНЯЯ КП MS(1,3)	0.1274E+03	0.9308E+04	0.0000E+00
ВНУТРЕННЯЯ КП ГРУППЫ 1	-0.3550E+04	-0.8665E+03	0.0000E+00
ВНЕШНЯЯ КП MS(2,2)	-0.5550E+04	-0.8460E+03	-0.1612E+03
ВНЕШНЯЯ КП MS(2,3)	0.4264E+04	0.1504E+03	0.0000E+00
ВНУТРЕННЯЯ КП ГРУППЫ 2	-0.2884E+04	-0.8460E+03	0.0000E+00
НЕФЕРМЯНЫЙ МЕХАНИЗМ	-0.8771E+04	-0.4505E+04	-0.4339E+03
---F1= -280,24---	RK4H	R3TA	MR
ВНЕШНЯЯ КП MS(1,2)	0.1129E+05	-0.3881E+03	0.0000E+00
ВНЕШНЯЯ КП MS(1,3)	0.7101E+03	0.1865E+05	0.0000E+00
ВНУТРЕННЯЯ КП ГРУППЫ 1	-0.6913E+04	-0.3802E+03	0.0000E+00
ВНЕШНЯЯ КП MS(2,2)	0.0000E+00	0.1101E+04	-0.2297E+03
ВНЕШНЯЯ КП MS(2,3)	0.5555E+04	0.2481E+03	0.0000E+00
ВНУТРЕННЯЯ КП ГРУППЫ 2	-0.4082E+04	0.1101E+04	0.0000E+00
НЕФЕРМЯНЫЙ МЕХАНИЗМ	-0.1165E+05	-0.1564E+04	-0.1651E+03
---F1= -310,24---	RK4H	R3TA	MR
ВНЕШНЯЯ КП MS(1,2)	0.1214E+05	-0.1253E+02	0.0000E+00
ВНЕШНЯЯ КП MS(1,3)	0.9882E+02	0.1239E+05	0.0000E+00
ВНУТРЕННЯЯ КП ГРУППЫ 1	-0.7713E+02	0.9900E+00	0.0000E+00
ВНЕШНЯЯ КП MS(2,2)	0.0000E+00	-0.1204E+04	-0.2503E+03
ВНЕШНЯЯ КП MS(2,3)	0.6060E+04	0.2657E+03	0.0000E+00
ВНУТРЕННЯЯ КП ГРУППЫ 2	-0.4454E+04	0.1204E+04	0.0000E+00
НЕФЕРМЯНЫЙ МЕХАНИЗМ	-0.1225E+05	0.2903E+04	0.2586E+03
---F1= -340,24---	RK4H	R3TA	MR
ВНЕШНЯЯ КП MS(1,2)	0.1374E+05	0.1542E+03	0.0000E+00
ВНЕШНЯЯ КП MS(1,3)	-0.1782E+04	0.1522E+05	0.0000E+00
ВНУТРЕННЯЯ КП ГРУППЫ 1	-0.9811E+04	0.1477E+02	0.0000E+00
ВНЕШНЯЯ КП MS(2,2)	0.0000E+00	-0.1510E+04	-0.2813E+03
ВНЕШНЯЯ КП MS(2,3)	0.7299E+04	0.1443E+03	0.0000E+00
ВНУТРЕННЯЯ КП ГРУППЫ 2	-0.5554E+04	0.1500E+04	0.0000E+00
НЕФЕРМЯНЫЙ МЕХАНИЗМ	-0.1120E+05	0.8554E+04	0.8073E+03
---F1= -400,24---	RK4H	R3TA	MR
ВНЕШНЯЯ КП MS(1,2)	0.1306E+05	0.2167E+03	0.0000E+00
ВНЕШНЯЯ КП MS(1,3)	-0.4682E+04	0.1588E+05	0.0000E+00
ВНУТРЕННЯЯ КП ГРУППЫ 1	-0.1094E+05	0.1593E+01	0.0000E+00
ВНЕШНЯЯ КП MS(2,2)	0.0000E+00	-0.1646E+04	-0.2652E+03
ВНЕШНЯЯ КП MS(2,3)	0.7391E+04	0.8143E+02	0.0000E+00
ВНУТРЕННЯЯ КП ГРУППЫ 2	-0.5374E+04	0.1466E+04	0.0000E+00
НЕФЕРМЯНЫЙ МЕХАНИЗМ	-0.5544E+04	0.1237E+05	0.1179E+04
---F1= -450,24---	RK4H	R3TA	MR
ВНЕШНЯЯ КП MS(1,2)	0.4800E+04	0.8126E+03	0.0000E+00
ВНЕШНЯЯ КП MS(1,3)	0.3142E+04	-0.3441E+04	0.0000E+00
ВНУТРЕННЯЯ КП ГРУППЫ 1	-0.3124E+04	0.6173E+03	0.0000E+00
ВНЕШНЯЯ КП MS(2,2)	0.0000E+00	0.4834E+03	0.3439E+02
ВНЕШНЯЯ КП MS(2,3)	-0.1582E+04	0.4254E+03	0.0000E+00
ВНУТРЕННЯЯ КП ГРУППЫ 2	0.1101E+04	-0.4789E+03	0.0000E+00
НЕФЕРМЯНЫЙ МЕХАНИЗМ	-0.1399E+04	0.4189E+04	-0.4564E+03
---F1= -450,24---	RK4H	R3TA	MR
ВНЕШНЯЯ КП MS(1,2)	-0.2972E+05	0.1720E+04	0.0000E+00
ВНЕШНЯЯ КП MS(1,3)	0.2310E+05	-0.2811E+05	0.0000E+00
ВНУТРЕННЯЯ КП ГРУППЫ 1	0.2440E+05	0.1754E+04	0.0000E+00
ВНЕШНЯЯ КП MS(2,2)	0.0000E+00	0.9285E+03	0.9848E+01
ВНЕШНЯЯ КП MS(2,3)	-0.1388E+05	0.1347E+03	0.0000E+00
ВНУТРЕННЯЯ КП ГРУППЫ 2	0.9827E+04	-0.9285E+03	0.0000E+00
НЕФЕРМЯНЫЙ МЕХАНИЗМ	-0.2351E+05	0.1004E+05	-0.1721E+04
---F1= -460,24---	RK4H	R3TA	MR

Окончание прил. 8

ВНЕШНЯЯ КП MS(1,2)	-0.2565E+05	0.1282E+04	0.0000E+00
ВНЕШНЯЯ КП MS(1,3)	0.1720E+05	-0.2490E+05	0.0000E+00
ВНУТРЕННЯЯ КП ГРУППЫ 1	0.2000E+05	0.1116E+04	0.0000E+00
ВНЕШНЯЯ КП MS(2,2)	0.0000E+00	0.1692E+03	-0.2014E+01
ВНЕШНЯЯ КП MS(2,3)	-0.1122E+05	0.5013E+03	0.0000E+00
ВНУТРЕННЯЯ КП ГРУППЫ 2	0.8794E+04	-0.1692E+03	0.0000E+00
ПЕРВЫЙ МЕХАНИЗМ	-0.2514E+05	0.1211E+04	0.1298E+03

## СОДЕРЖАНИЕ

Введение .....	3
1. Методика силового расчета рычажных механизмов .....	4
2. Пример силового расчета шестизвездного рычажного механизма графическим способом и аналитическим на ЭВМ .....	12
3. Силовой расчет шестизвездного кулисного механизма на ЭВМ по программе <i>PR 3207</i> .....	27
4. Силовой расчет четырехзвенного механизма с качающимся гидроцилиндром на ЭВМ по программе <i>PR 3050</i> .....	35
5. Силовой расчет рычажных механизмов с использованием обобщенного метода преобразования координат .....	40
6. Силовой расчет зубчатых механизмов .....	51
7. Силовой расчет кулачковых механизмов .....	56
Литература .....	59
Приложения .....	60